

BLI生物膜干涉技术介绍 以及在分子互作研究中的应用

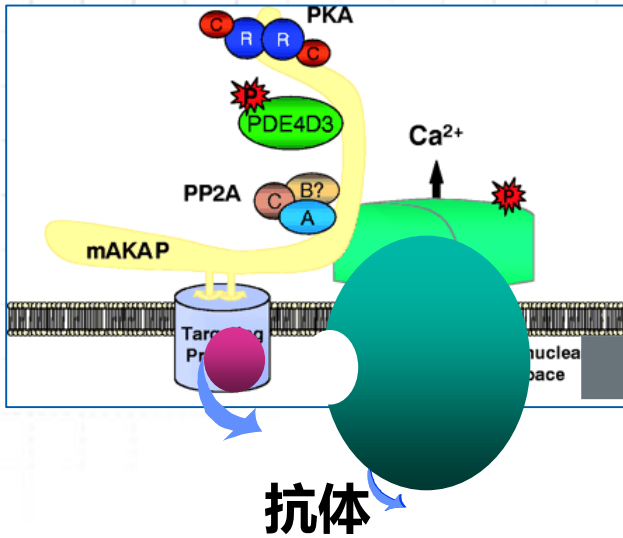
张财辉 13918182485
caihui_zhang@pall.com

This presentation is the Confidential work product of Pall Corporation and no portion of this presentation may be copied, published, performed, or redistributed without the express written authority of a Pall corporate officer.

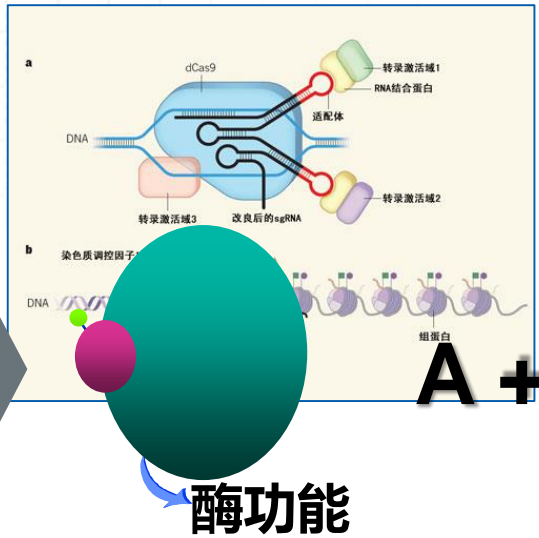


为什么要研究分子互作？

信号传导



基因调控



蛋白复合物组装

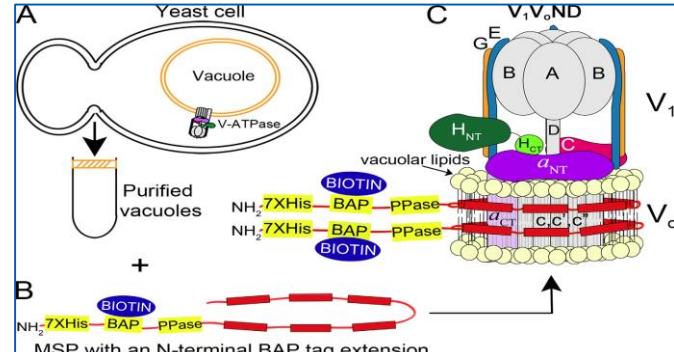
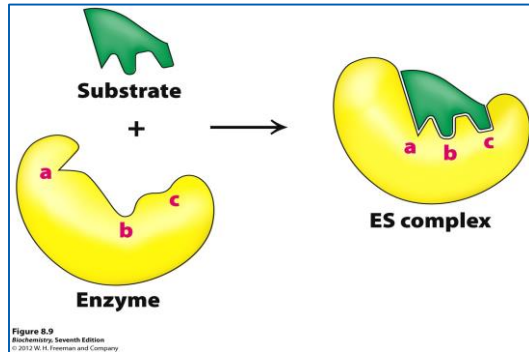
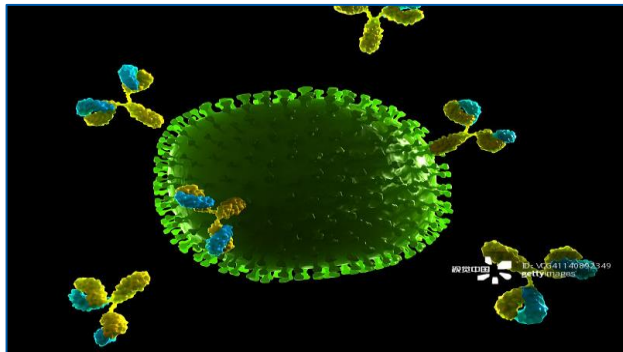
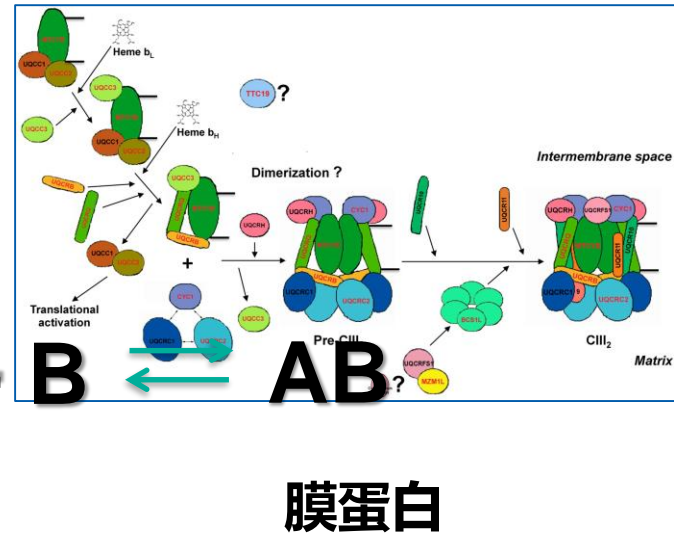


Figure 8.9
Biochemistry, Seventh Edition
© 2012 W. H. Freeman and Company



3. 生命科学部优先发展领域

(1) 生物大分子的修饰、相互作用与活性调控

主要研究方向：生物大分子修饰、动态变化及其功能；生物大分子相互作用的动态性和网络特征；生物大分子特异相互作用的结构基础和预测；生物大分子复合体的自组装；糖、脂化学与酶促合成、结构与功能；高分辨等技术方法研究细胞内大分子行为。

研究方法：

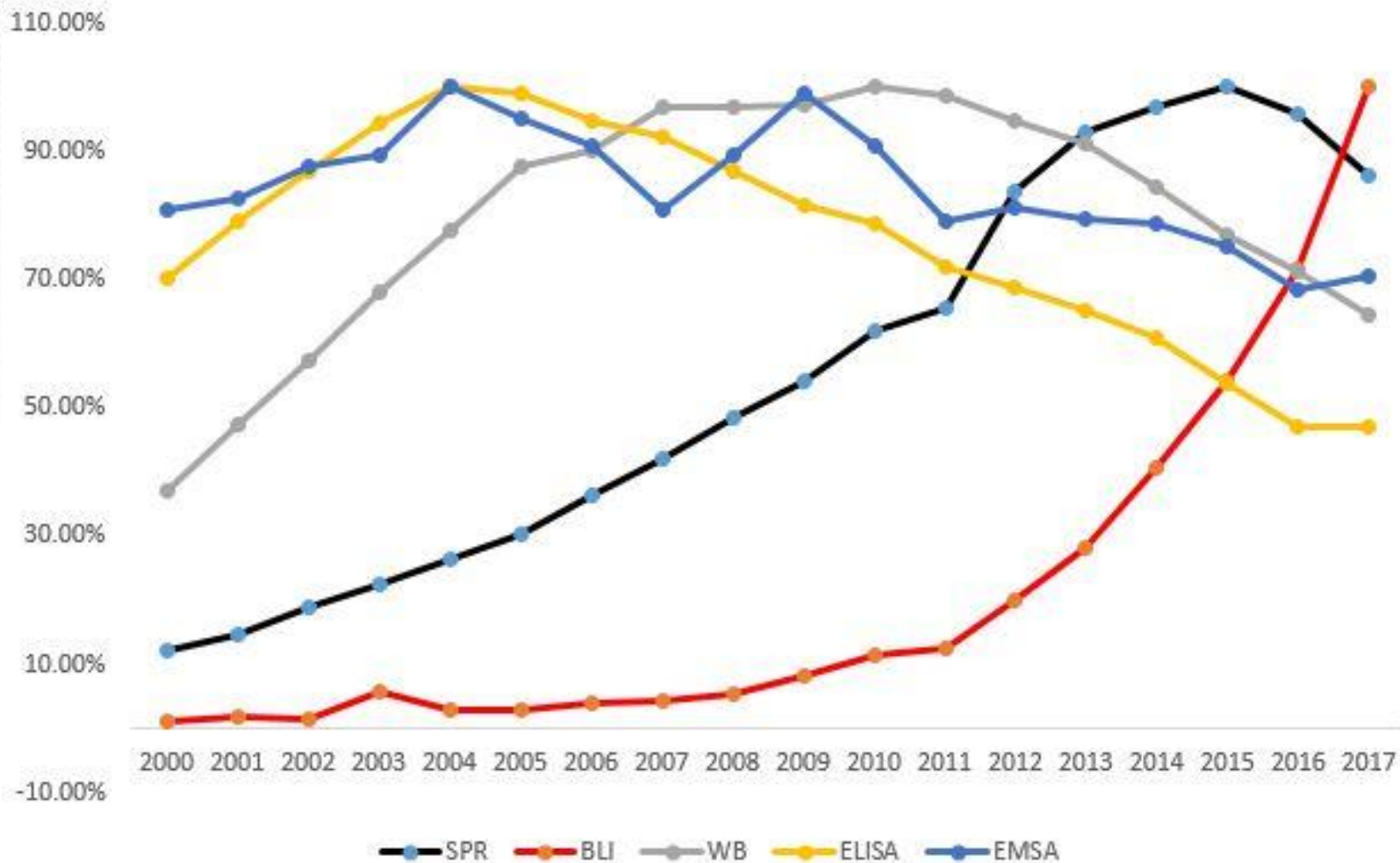
传统方法（Label技术）：免疫共沉淀、Pull Down、EMSA实验、酵母双杂交、ELISA实验、荧光偏振、MST等。

Label Free技术：表面等离子共振 SPR、微量热滴定 ITC、**生物膜干涉 BLI**。



FortéBio®

不同技术发表文章增长率对比
(google scholar)



简介

原理

应用

系统特点

- ForteBio公司成立于2001年，总部设在美国旧金山，2012年加入Pall公司
- 2015年进入DANAHER集团
- 全球范围装机量超过2000台
- 2009年进入中国市场，安装数量**约200台**
- 目前为**全球最大的分子互作技术厂商之一**



中科院生物物理所

中科院上海生化细胞所

中科院微生物所

中科院遗传发育所

中科院大学生科院

中科院昆明植物所

中科院武汉病毒所

中科院水生所

中科院上海药物所

清华大学

北京大学

上海交通大学

武汉大学

吉林大学

军事医学科学院

复旦大学医学院

中国医科院医生计所

中检院 (CFDA)

北京安贞医院

北京儿童医院

北京胸科医院

上海市肺科医院

川大华西医院

山大齐鲁医院

第二军医大学

第三军医大学

第四军医大学

中国医科大学

大连医科大学

中国药科大学

浙江省医科院

昆明医学生物学研究所

广东健康研究院

中医研究院基础研究所

诺和诺德中国研发中心

诺华中国研发中心

百济神州

义翘神州

药明康德

康龙化成

恒瑞医药

信达生物

中信国建

齐鲁制药

金赛药业

睿智化学

中山康方

金凯生物

香雪制药

绿叶制药

康弘药业.....

2012至今，中国用户共计发表SCI文献 > 200篇

北京生命科学研究所以，邵峰 研究员 2017 Nature

Ubiquitination and degradation of GBPs by a *Shigella* effector to suppress host defence

Peng Li, Wei Jiang, Qin Yu, Wang Liu, Ping Zhou, Jun Li, Junjie Xu, Bo Xu, Fengchao Wang and Feng Shao

第二军医大学，曹雪涛 教授 2017 Science

An interferon-independent lncRNA promotes viral replication by modulating cellular metabolism

Pin Wang,^{1*} Junfang Xu,^{2*} Yujia Wang,² Xuetao Cao^{1,2,3†}

中科院微生物所，高福 研究员 2016 / 17 Science Translational Medicine / Nature Communications

An unexpected N-terminal loop in PD-1 dominates binding by nivolumab

Molecular determinants of human neutralizing antibodies isolated from a patient infected with Zika virus

Shuguang Tan^{1,2,*}, Hao Zhang^{1,3,*}, Yan Chai^{2,*}, Hao Song⁴, Zhou Tong¹, Qihui Wang¹, Jianxun Qi², Gary Wong², Xiaodong Zhu², William J. Liu⁵, Shan Gao⁷, Zhongfu Wang⁸, Yi Shi², Fuquan Yang⁹, George F. Gao^{2,4,6} & Jinghua Yan^{1,2,3}

Qihui Wang,^{1,2,*} Huabing Yang,^{1,3*} Xiaoqing Liu,^{2*} Lianpan Dai,^{2*} Tong Ma,^{1,3} Jianxun Qi,² Gary Wong,^{2,4,5} Ruchao Peng,² Sheng Liu,^{2*} Junfu Li,¹ Shihua Li,^{2*} Jian Song,² Jianying Liu,^{1,2,4} Jianhua He,^{1,6} Hui Yuan,⁴ Ying Xiong,⁴ Yong Liao,^{1,1} Jianhua Li,^{1,1} Jianping Yang,^{1,1} Zhou Tong,¹ Bryan D. Griffin,^{12,13} Yuhai Bi,^{2,4,7} Mifang Liang,^{1,4} Xiaoning Xu,^{1,3} Chuan Qin,^{1,6} Gong Cheng,⁹ Xinzheng Zhang,^{1,1,18} Peiyi Wang,^{1,9} Xiangguo Qiu,^{12,13} Gary Kobinger,^{1,2} Yi Shi,^{2,6} Jinghua Yan,^{1,2,3,4,20†} George F. Gao^{2,4,5,6,7,8,9,13,21†}

上海交通大学医学院，瑞金医院上海血研所，王侃侃 教授 2016 Blood

Genome-wide studies identify a novel interplay between AML1 and AML1/ETO in t(8;21) acute myeloid leukemia.

Li Y¹, Wang H¹, Wang X¹, Jin W¹, Tan Y¹, Fang H², Chen S³, Chen Z⁴, Wang K⁴.

清华大学 李海涛教授 2014 Nature

ZMYND11 links histone H3.3K36me3 to transcription elongation and tumour suppression.

Wen H¹, Li Y², Xi Y³, Jiang S⁴, Stratton S⁴, Peng D⁴, Tanaka K⁴, Ren Y⁵, Xia Z⁶, Wu J⁷, Li B⁷, Barton MC⁸, Li W⁶, Li H⁵, Shi X⁸.

清华大学 施一公教授 2014 Cell Research

Crystal structure and biochemical analysis of the heptameric Lsm1-7 complex.

Zhou L¹, Zhou Y², Hang J³, Wan R⁴, Lu G⁴, Yan C³, Shi Y¹.

中科院生化细胞所 李琳研究员 2013 Nature Chemical Biology

Small-molecule modulation of Wnt signaling via modulating the Axin-LRP5/6 interaction.

Wang S¹, Yin J, Chen D, Nie F, Song X, Fei C, Miao H, Jing C, Ma W, Wang L, Xie S, Li C, Zeng R, Pan W, Hao X, Li L.



FortéBio®

全球高水平文献众多 CNS>100篇

Nature immunology	2015	T cell receptor dual times control the kinase activity of Zap70	Nature structural & molecular biology	2016	Neddylated activated I	Nature Chemical Biology	2017	Recognition of EGF-like domains by the Notch-modifying O-fucosyltransferase POFUT 1	University of Toronto
Blood	2015	Structural antidote for Glutathione intracellular	Nature	2016	Molecular Eng JUNC	Immunity	2017	HLA-F: A New Kid Licensed for Peptide Presentation	National Institute of Allergy and Infectious Diseases
Nature	2015		Nature	2016	Continuous overcome	Nature Biotechnology	2017	Computational design of trimeric influenza-neutralizing proteins targeting the hemagglutinin receptor binding site	University of Washington
Nature Medicine	2015	Hemaggl influenza	Science	2016	Isolation of the 2014 f	Immunity	2017	Virus-like Particles Identify an HIV V1V2 Apex-Binding Neutralizing Antibody that Lacks a Protruding Loop	National Institutes of Health
Science	2014	A Unique Blocks An Antibody immune phylogen	Science	2016	Structural by protect	cell	2017	Immunization-Elicited Broadly Protective Antibody Reveals Ebola Virus Fusion Loop as a Site of Vulnerability	University of Maryland
Immunity	2014	Structure HIV-1 En ZMYND1 elongation A von Wil domains i mice	Science	2016	Protective by a potent Inhibitor S	Immunity	2017	Glycine Substitution at Helix-to-Coil Transitions Facilitates the Structural Determination of a Stabilized Subtype C HIV Envelope Glycoprotein	The Scripps Research Institute
Nature	2014		Nature Biotechnology	2016	Comprehensive Enhancing catalytically asymmetri	Nature	2017	Hypersensitive termination of the hypoxic response by a disordered protein switch	The Scripps Research Institute
Nature	2014		Nature Biotechnology	2016	Response Infection	Immunity	2017	Particulate Array of Well-Ordered HIV Clade C Env Trimers Elicits Neutralizing Antibodies that Display a Unique V2 Cap Approach	Tumor and Cell Biology, Karolinska Institutet
Blood	2014		Cell	2016	Pharmac Restores	Cell	2017	Antibodies from a Human Survivor Define Sites of Vulnerability for Broad Protection against Ebolaviruses	Albert Einstein College of Medicine
Nature	2014	Receptor	Science	2015	A stable tr protective Phosphor inflammati	Science	2016	CryoEM structure of a native, fully glycosylated and cleaved HIV-1 envelope trimer	The Scripps Research Institute
Science	2013	Preferenti influenza	Science	2015		Nature Medicine	2016	Influenza immunization elicits antibodies specific for an egg-adapted vaccine strain	Harvard Medical School
Science	2013	Structure-for Respir	Nature	2015		Cell	2016	Mitochondrial Sirtuin Network Reveals Dynamic SIRT3-Dependent Deacetylation in Response to Membrane Depolarization	Harvard Medical School
Cell	2013	14-3-3 Pr Phosphor	Nature Immunology	2015	PARP9-D and viral control vir	Cell	2016	Cross-Neutralizing and Protective Human Antibody Specificities to Poxvirus Infections	Vanderbilt Vaccine Center
Nature immunology	2013	Nck-mediated PI(3)k	Cell	2015	Genome-wide AML1 and Viral Receptor Germline	Cell	2016	Induction of HIV Neutralizing Antibody Lineages in Mice with Diverse Precursor Repertoires	Boston Children's Hospital
Nature Chemical Biology	2013	Small-molecule the Axin-1	Blood	2015		Nature structural & molecular biology	2016	Iterative structure-based improvement of a fusion-glycoprotein vaccine against RSV	Vaccine Research Center, National Institute of Allergy and Infectious Diseases, National Institutes of Health
Nature	2013	Receptor influenza	Cell	2015	Crystal structure interaction	Nature	2016	The structural basis of modified nucleosome recognition by 53BP1	The Lunenfeld-Tanenbaum Research Institute
Nature	2013	Coagulation by natural	Cell	2015	Rational Design the Receptor	Cell	2016	Structural Basis of Zika Virus-Specific Antibody Protection	Washington University School of Medicine
Nature	2013		Cell	2015	Mechanism Marburg Virus Structure insight into Receptor-bacterial interaction	Blood	2016	Prothrombotic Skeletal Muscle Myosin Directly Enhances Prothrombin Activation by Binding Factors Xa and Va	The Scripps Research Institute
Nature	2013	Receptor	Nature structural & molecular biology	2015		Nature structural & molecular biology	2016	Neddylated requires glycyl-tRNA synthetase to protect activated E2	The Scripps Research Institute
Nature	2013		Nature	2015	HSP70 secretion erythropoietin	Nature	2016	Molecular architecture of the human sperm IZUMO1 and egg JUNO fertilization complex	University of Toronto
Nature	2013	Conformational endosome	Nature	2015		Nature	2016	Continuous evolution of Bacillus thuringiensis toxins overcomes insect resistance	Harvard University
Science	2012	Synthetic evolution Self-antigen receptors	Nature	2015	Therapeutic castration-Structure	Science	2016	Isolation of potent neutralizing antibodies from a survivor of the 2014 Ebola virus outbreak	The Scripps Research Institute
Blood	2012		Immunity	2015	Lectin Recognition Presentati	Science	2016	Structural and molecular basis for Ebola virus neutralization by protective human antibodies	National Institutes of Health
						Science	2016	Protective monotherapy against lethal Ebola virus infection by a potentially neutralizing antibody	Institute for Research in Biomedicine

简介

原理

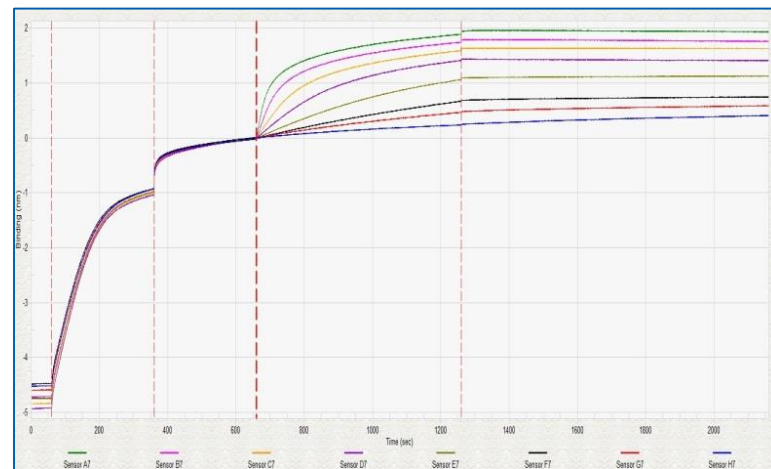
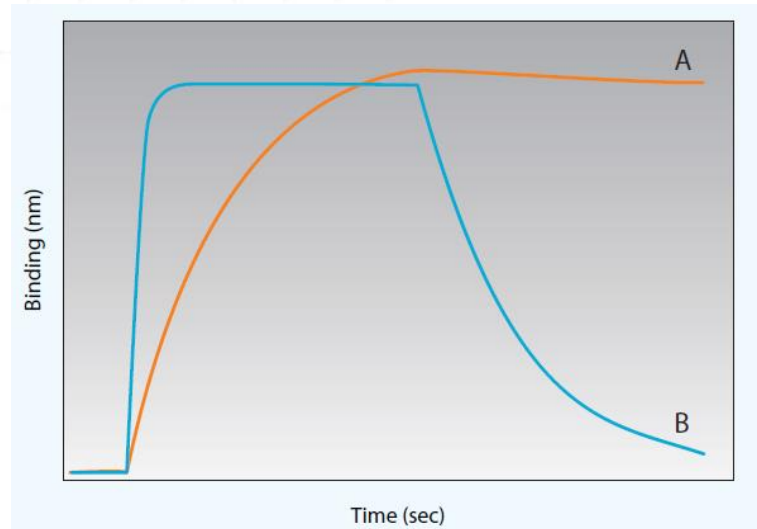
应用

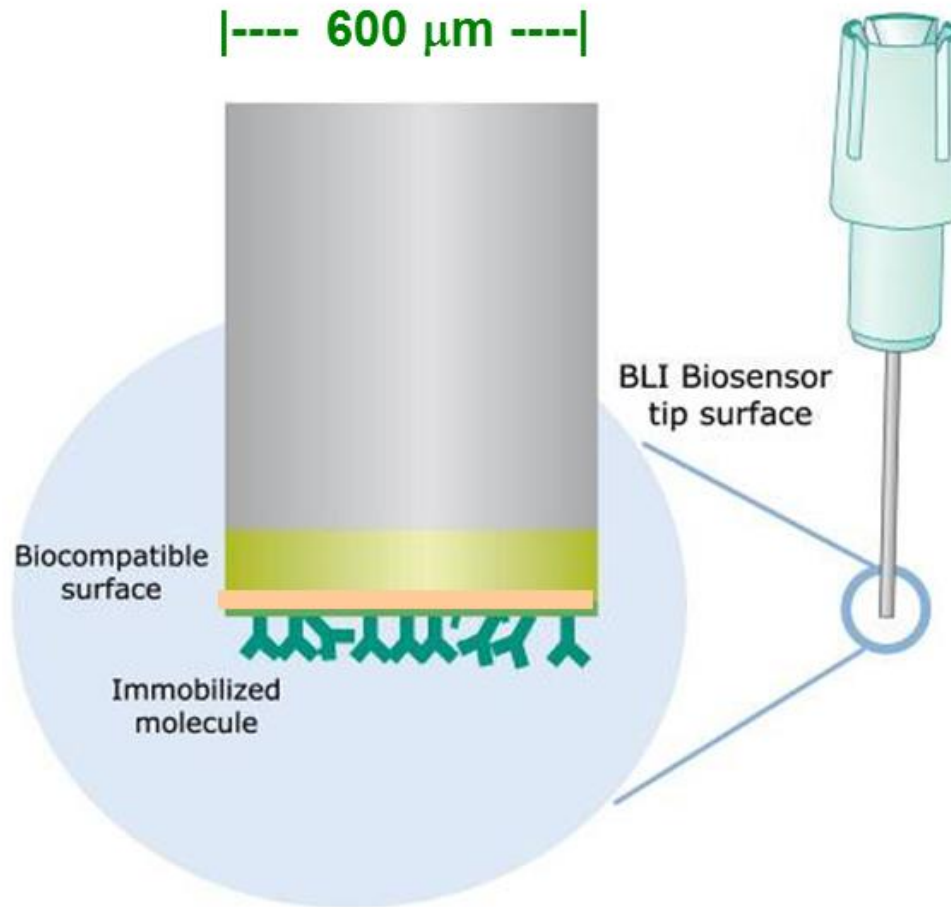
系统特点

生物膜干涉技术 (Biolayer-interferometry , BLI)

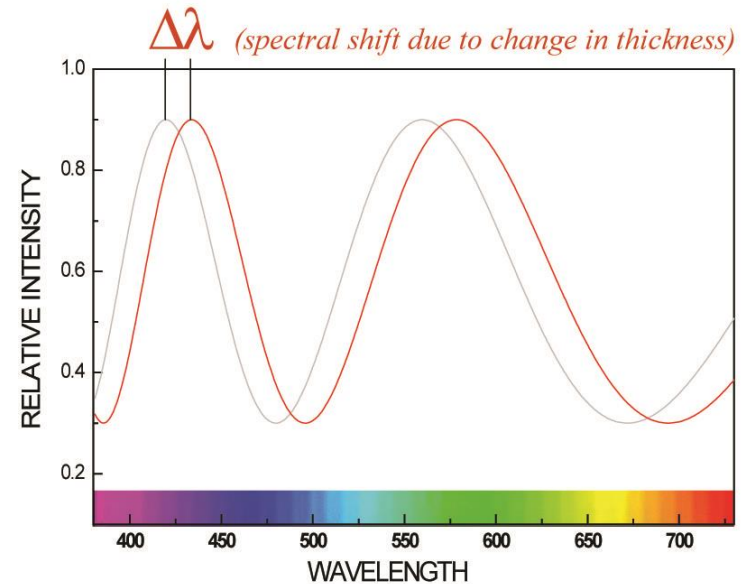
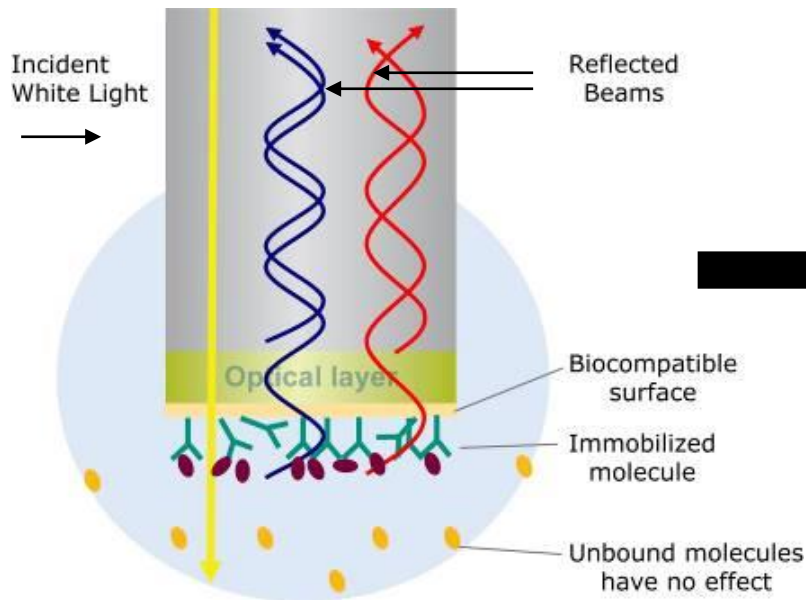
三大特点

- ✓ 无标记
- ✓ 实时监测
- ✓ 浸入即读

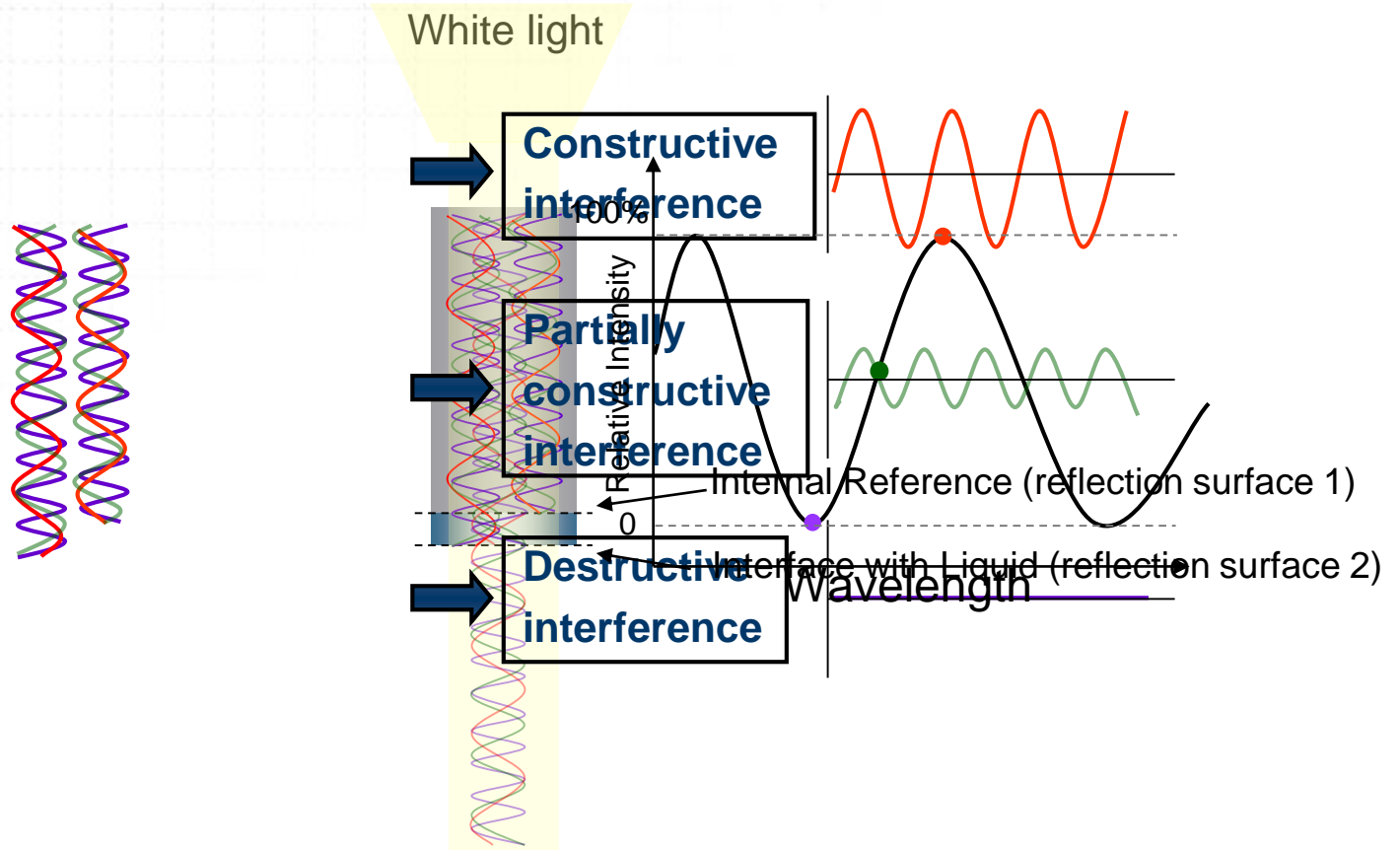


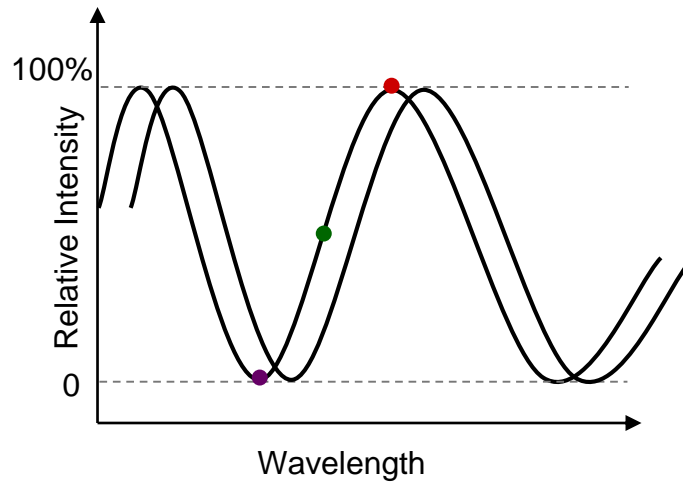
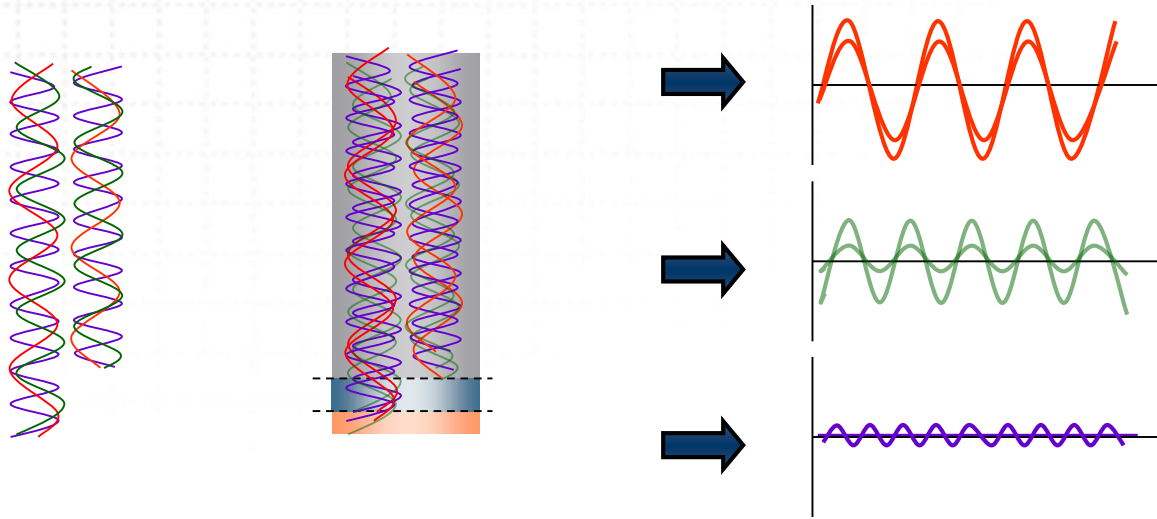


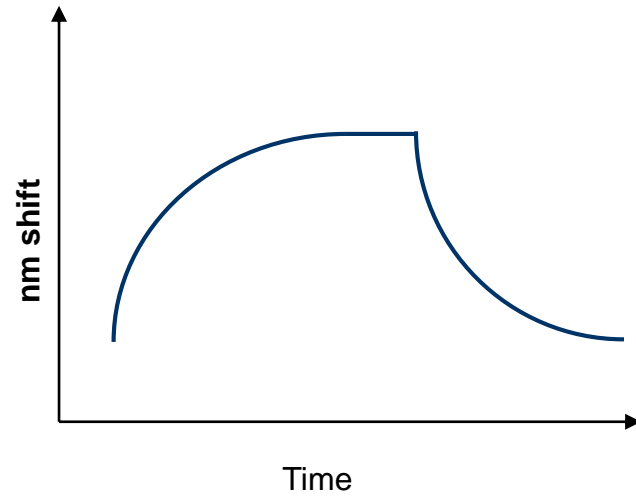
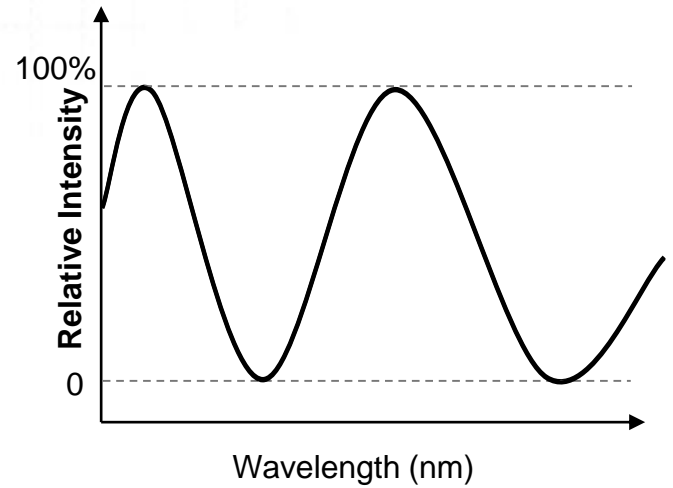
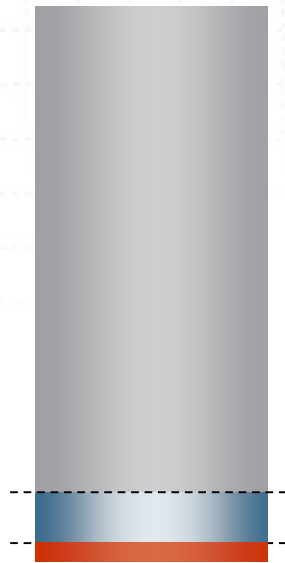
- 一束可见光穿过光纤，在传感器末端的光学膜层的两个界面会形成两束反射光谱，叠加形成一束干涉光谱
- 分子结合导致膜层厚度变化，并通过干涉光谱的位移值而体现



生物膜干涉 (Bio-Layer Interferometry, BLI)







通用型：

- Streptavidin (SA)
- Super Streptavidin (SSA)
- High Precision Streptavidin (SAX)
- Amine Reactive 2nd Generation (AR2G)
- Aminopropylsilane (APS)

捕获型：

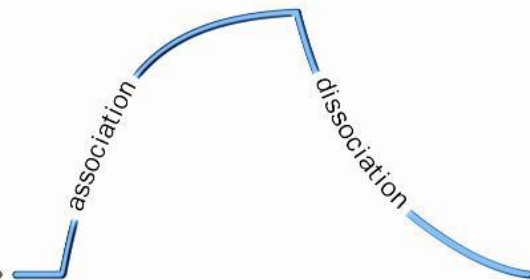
- Anti-Penta-HIS (HIS1K)
- Anti-Penta-HIS 2G (His2)
- Ni-NTA (HIS)
- Anti-GST (GST)

抗体类：

- Anti-Human IgG Fc (AHQ)
 - Anti-Human IgG Fc (AHC)
 - Anti-Murine IgG Fv (AMQ)
 - Anti-Murine IgG Fc (AMC)
 - Anti human IgG Fab (FAB2G)
 - Protein A
 - Protein G
 - Protein L
- ✓ **再生20次以上**

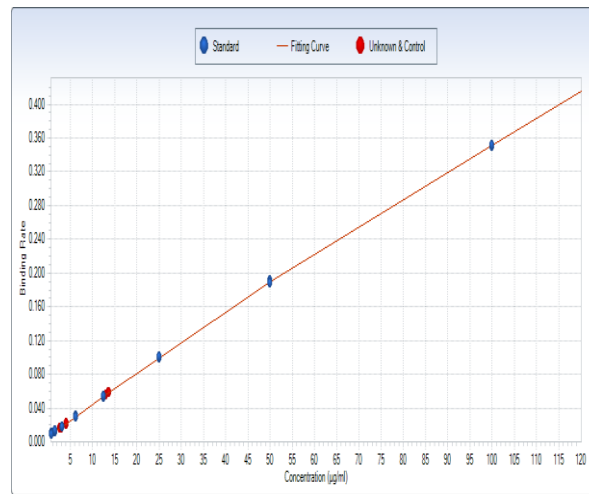
动力学测定

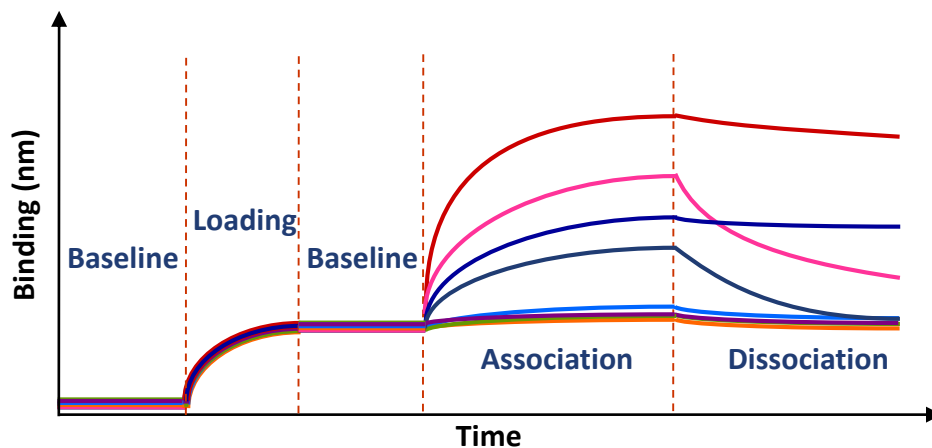
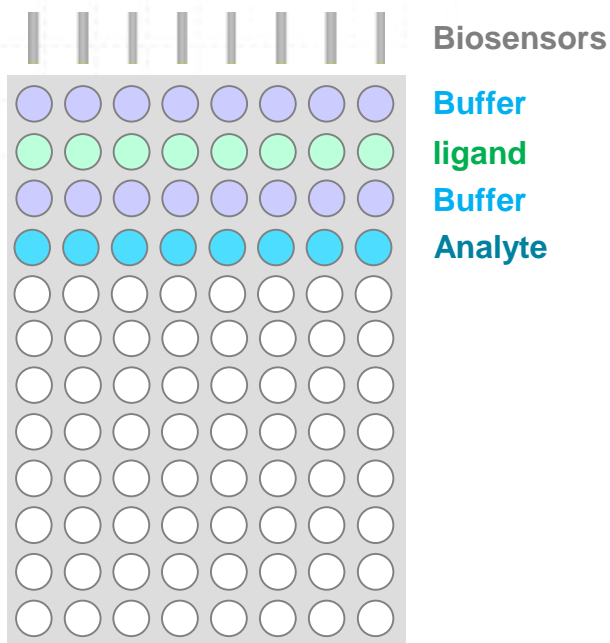
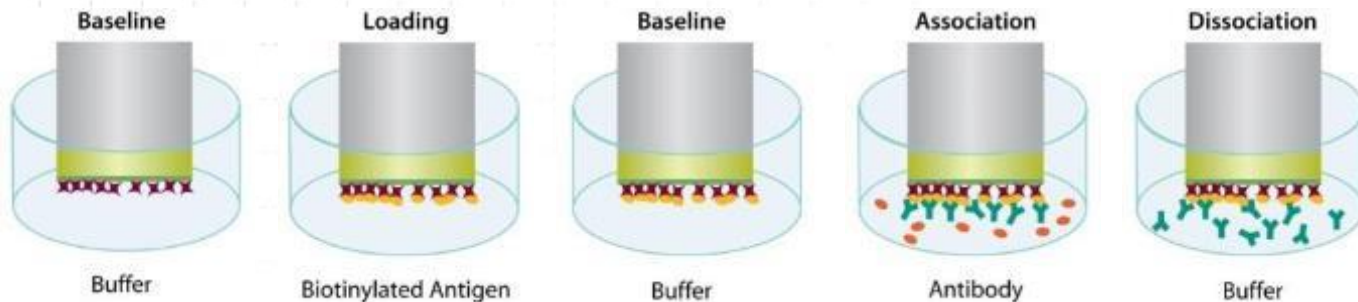
- 是否存在特异性结合 (Yes / No)
- 结合亲和力 (Affinity, K_D)
- 结合、解离速率 (k_a , k_d)
- 筛选与排序 (Screening / Ranking)
- 竞争实验 (Competition Assay)
- 抗原表位配对 (Epitope binning)



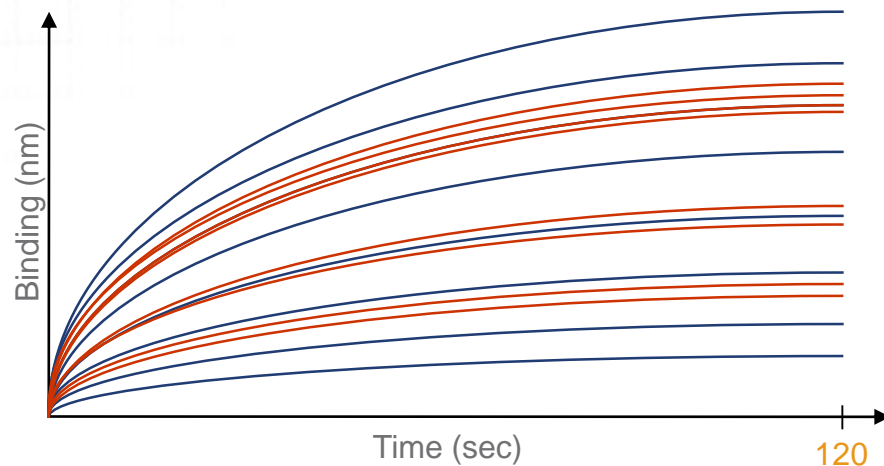
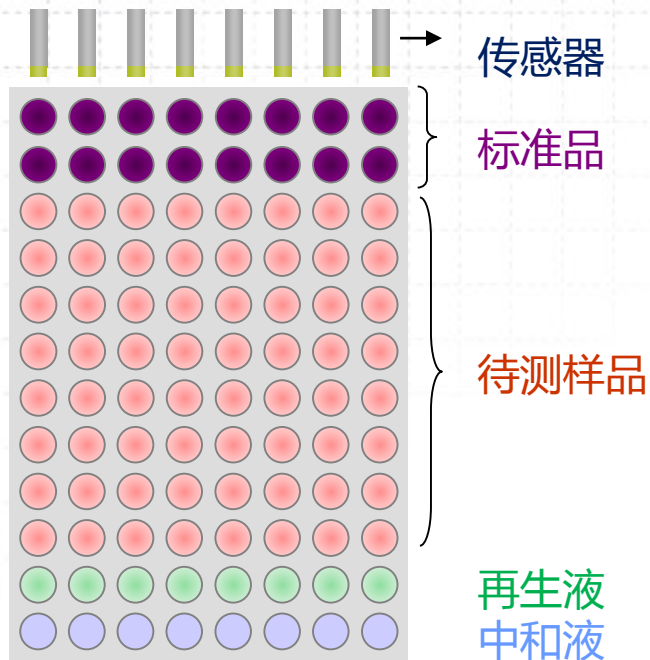
浓度测定

- 抗体或重组蛋白定量
- 抗生素或毒素检测
- ELISA定量替代实验
- 残留蛋白A、HCP检测等

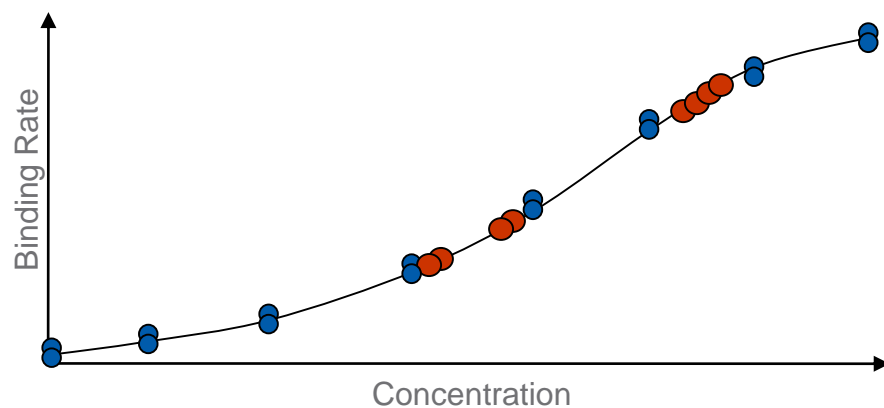




- 8个样品或者8个不同浓度同时平行检测
- 获取 K_D , k_a , k_d 等全面的动力学数据
- 显示每个步骤的实时曲线
- 可自定义任何步骤或方法



- 动态检测范围：0.05 ~ 2000ug/mL
- 快速检测：96个样品15~30min
- 标准品可重复使用
- 检测重复性好：CV < 5%
- 适用于粗样品：细胞上清、培养液等

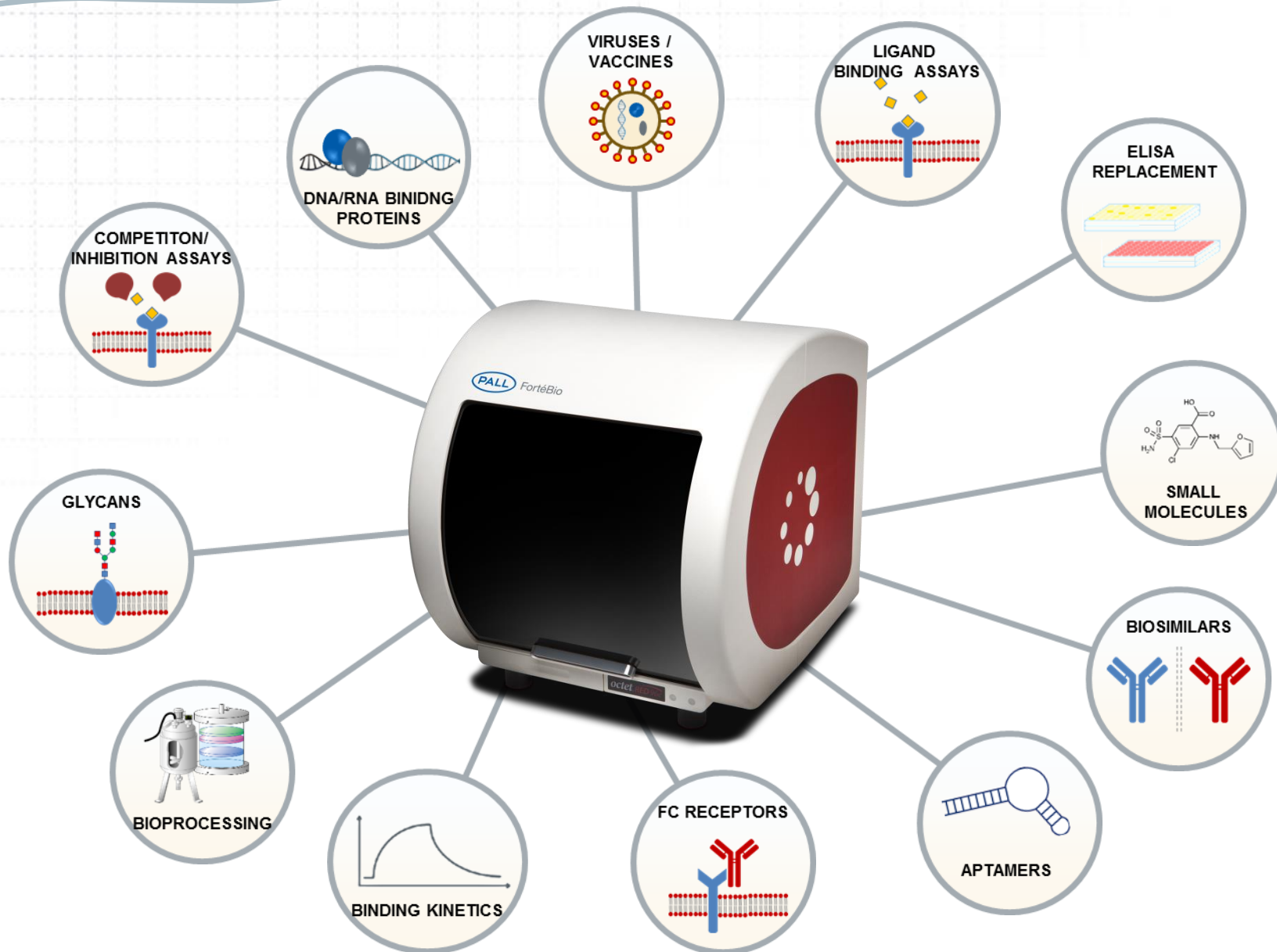


简介

原理

应用

系统特点



动力学分析：

- 蛋白——蛋白
- 蛋白——小分子
- 脂类——蛋白/抗体
- 糖类——蛋白
- 肽类——蛋白
- 核酸——蛋白
- 病毒样颗粒——蛋白
- 纳米颗粒/材料
- 多分子相互作用
- 竞争实验
- 细胞实验

蛋白定量检测：

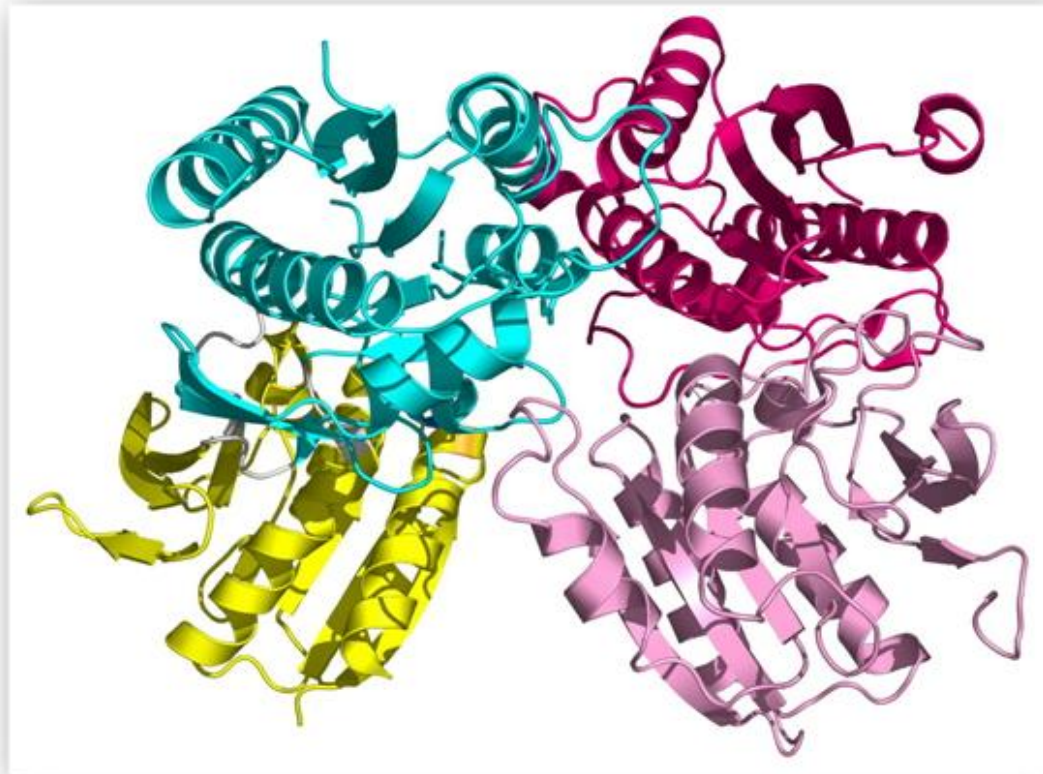
- 蛋白/抗体定量
- ELISA定量替代实验
- 病毒滴度分析
- 抗生素、毒素定量
- 残留蛋白A检测

筛选实验：

- 晶体研究中蛋白筛选
- DNA适配子筛选
- 小分子片段筛选
- 次级筛选及Hit验证
- DNA-DNA错配检测
- 噬菌体展示技术
- 蛋白/多肽/小分子抑制试验
- 细胞克隆筛选
- 蛋白表达监测
- 生物反应器监测
- 抗原表位配对

实验开发：

- 培养基研发
- 生产工艺开发
- 抗体亚型分析
- 抗体配对



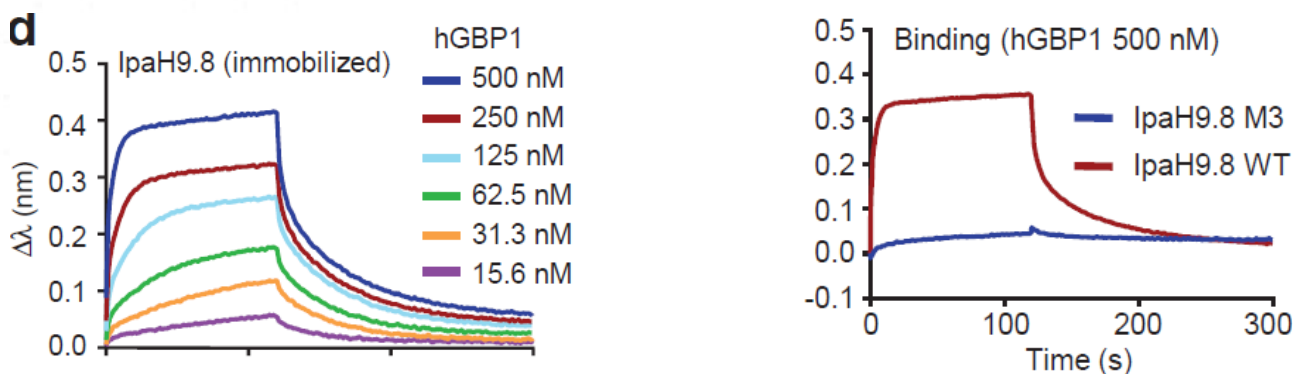
Ubiquitination and degradation of GBPs by a *Shigella* effector to suppress host defence

Peng Li, Wei Jiang, Qin Yu, Wang Liu, Ping Zhou, Jun Li, Junjie Xu, Bo Xu, Fengchao Wang and Feng Shao

nature

NIBS 邵峰, 2017

研究揭示了志贺氏痢疾杆菌效应蛋白IpaH9.8通过泛素化降解宿主细胞内被干扰素调节的GBPs（鸟苷酸结合蛋白），从而抑制宿主的免疫反应并促进病原菌在宿主内的生存和增殖。



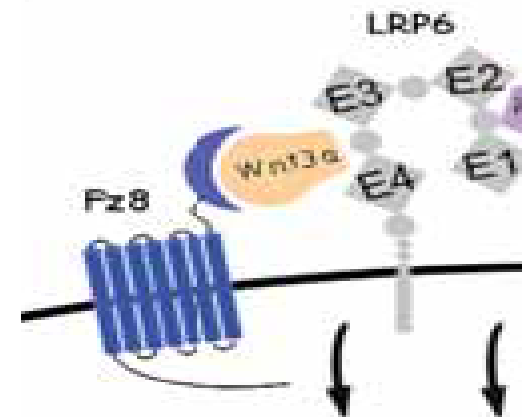
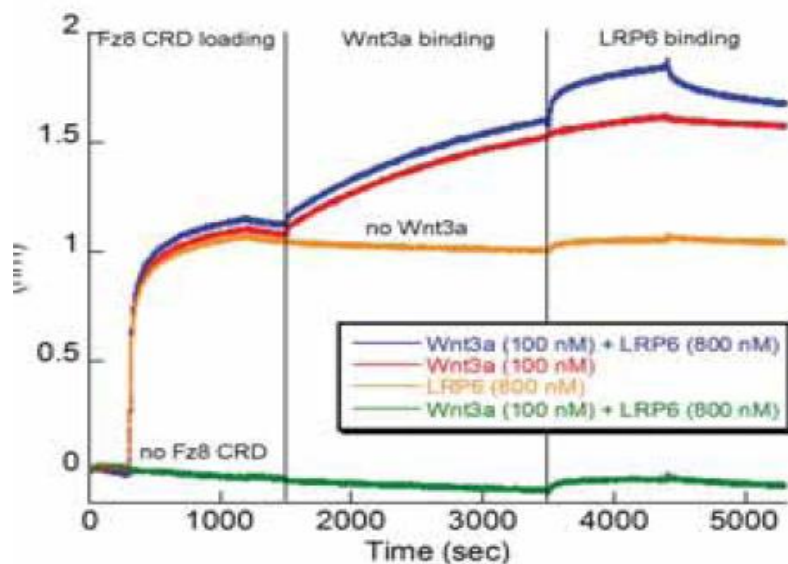
BLI及pull-down实验，结合细胞荧光成像检测发现，IpaH9.8可以直接结合在hGBP1蛋白上，导致hGBP1通过蛋白酶体通路被降解。当IpaH9.8被突变时，不能结合hGBP家族蛋白，hGBP1会定位到胞内志贺氏菌上来抑制其生长。动物实验表明，当被IpaH9.8基因缺失的志贺氏菌感染后，小鼠可以存活，而野生型志贺氏菌感染后的小鼠则死亡。

Reconstitution of a Frizzled8-Wnt3a-LRP6 signaling complex reveals multiple Wnt and Dkk1 binding sites on LRP6

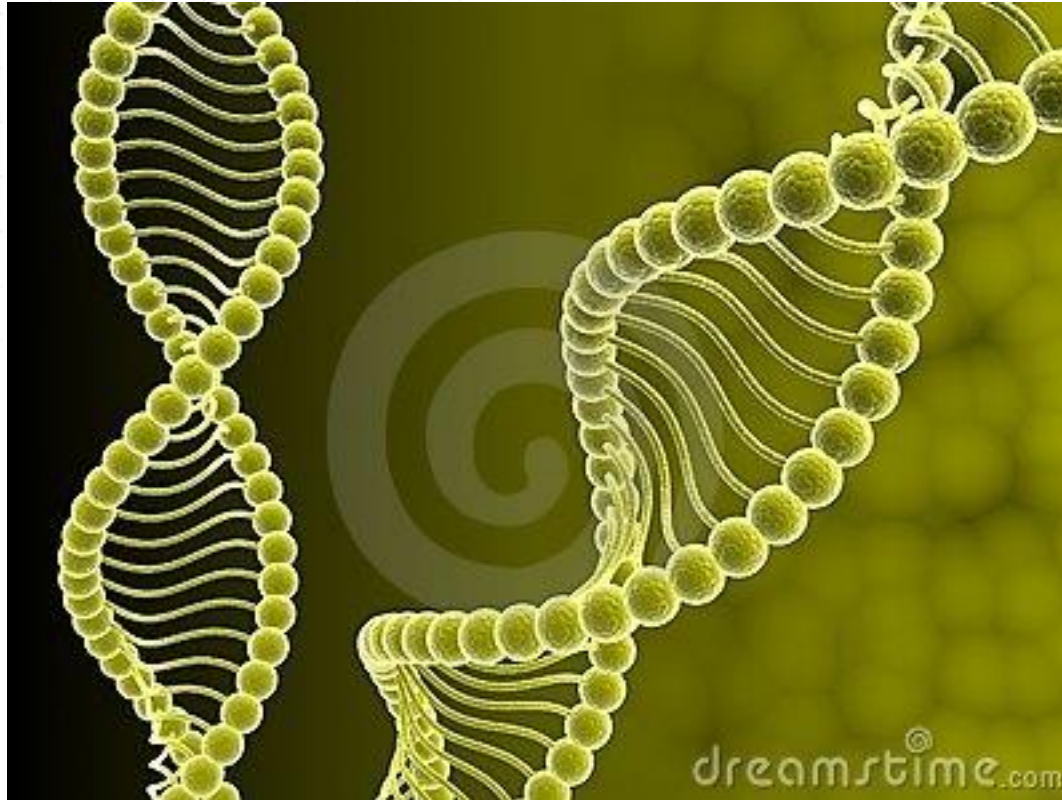
Eric Bourhis¹, Christine Tam², Yvonne Franke², J. Fernando Bazan¹, James Ernst^{3,1}, Jiyoung Hwang², Mike Costa⁴, Andrea G. Cochran¹ and Rami N. Hannoush¹

JBC JOURNAL OF BIOLOGICAL CHEMISTRY

JBC, 2010



- Fz8与LRP6不能直接结合
- Wnt3a可以分别结合Fz8, LRP6
- Fz8-Wnt3a-LRP6复合物的形成中, Wnt3a起到关键作用

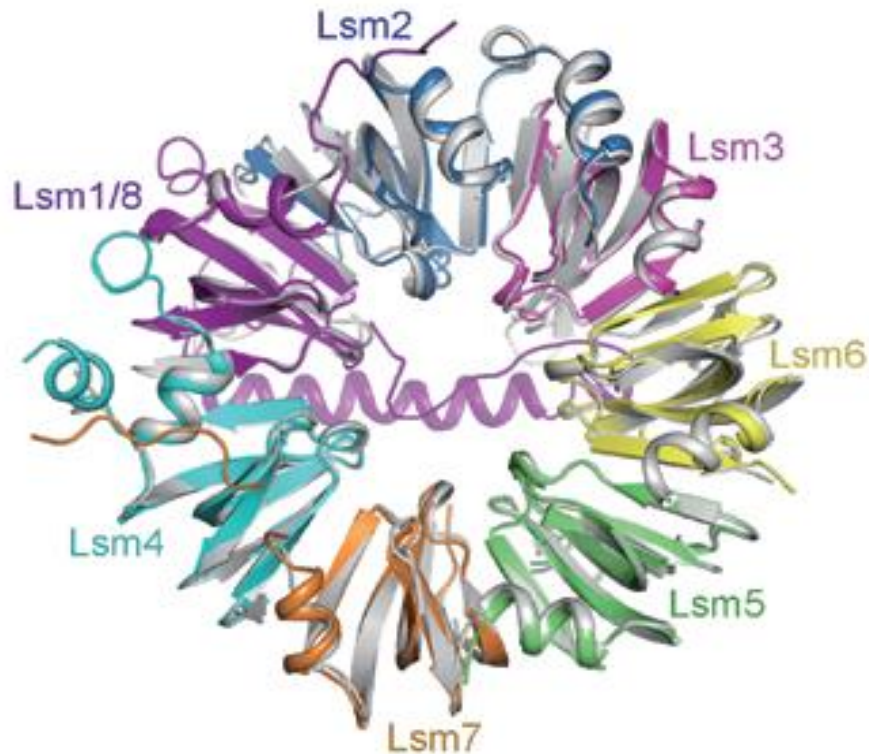


Crystal structure and biochemical analysis of the heptameric Lsm1-7 complex.

Zhou L¹, Zhou Y², Hang J³, Wan R⁴, Lu G⁴, Yan C³, Shi Y¹.

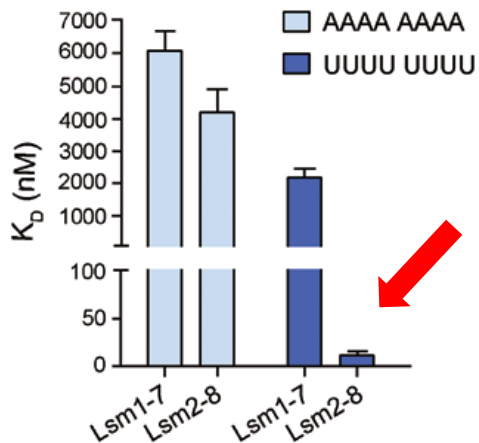
Cell Research

清华大学, 2014



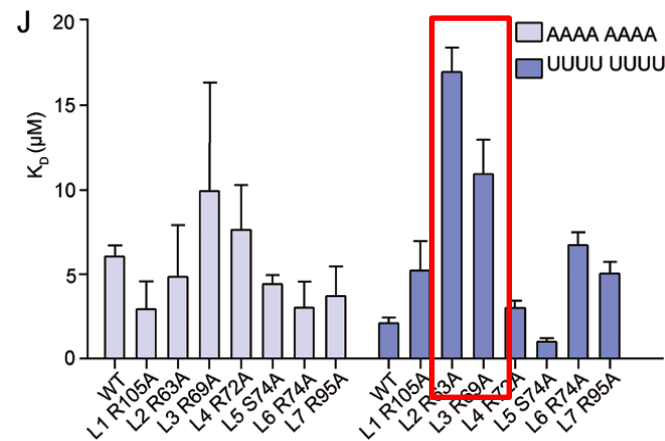
Lsm复合物在pre-mRNA的定向降解中起到非常重要的作用，有两种七聚体：Lsm1-7和Lsm2-8，分布在细胞核和细胞质中，可以结合3'末端的U6 snRNA（小核RNA），从而在RNA的代谢中起着重要作用。

BLI技术研究Lsm复合物与mRNA末端寡聚核糖核酸（AAAAAAA和UUUUUUUU）的结合能力和机制。



Lsm1-7与8A和8U的亲和力分别为6uM和2uM，没有明显差别。

Lsm2-8与8U的结合明显强于8A（200倍，4uM与20nM），说明Lsm2-8与8U是选择性结合的。



Lsm1-7 突变体与RNA的相互作用

L2，L3上的Arg突变后，Lsm1-7复合物与8U的结合能力显著下降

各种突变与与8A的结合能力无显著变化。

Genome-wide studies identify a novel interplay between AML1 and AML1/ETO in t(8;21) acute myeloid leukemia

Yizhen Li,^{1,*} Huanwei Wang,^{1,*} Xiaoling Wang,¹ Wen Jin,¹ Yun Tan,¹ Hai Fang,² Saijuan Chen,^{1,2} Zhu Chen,¹⁻³ and Kankan Wang¹⁻³



上海血研所, 2016

Probes containing the short AML1 motifs

S1: 5'-TCCGGTGGTGC **TGTGGT** CTGCCCTGGAGA-3'
3'-AGGCCACCACG **ACACCA** GACGGGGACCTCT-5'

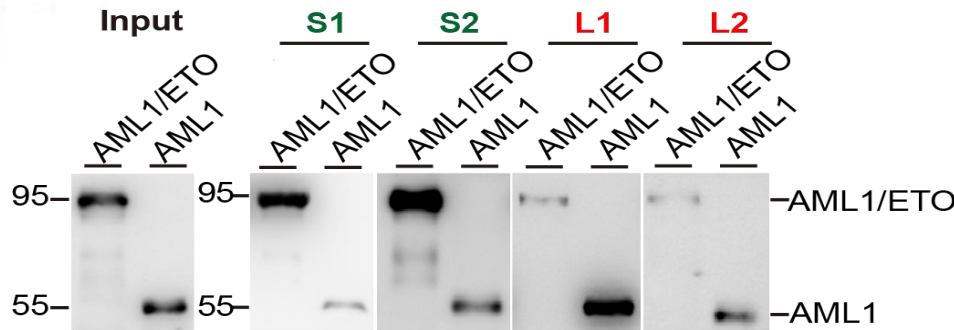
S2: 5'-ACCACCTGCATT **ACCACA** GCCTCCACGGTG-3'
3'-TGGTGGACGTA **TGGTGT** CGGAGGTGCCAC-5'

Probes containing the long AML1 motifs

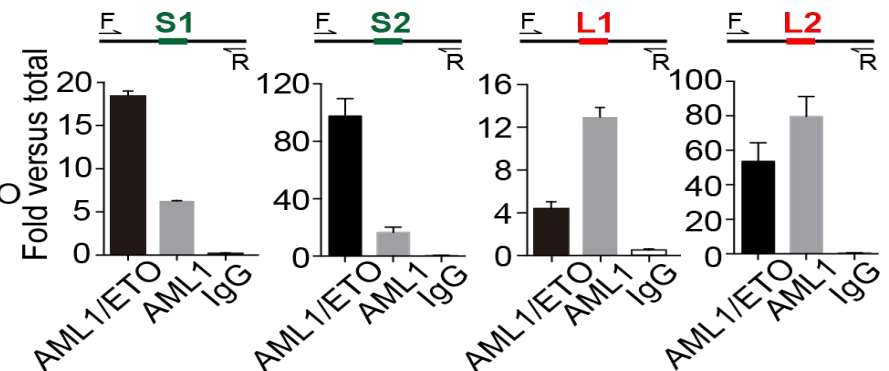
L1: 5'-GTGAGTACCCA **TGTGGTTT** AACGCTTGACT-3'
3'-CACTCATGGGT **ACACCAA** ATTGCGAACTGA-5'

L2: 5'-GCAGAAGGAAGC **TGTGGTTT** CTGGTCTTCCT-3'
3'-CGTCTTCCTTCG **ACACCAA** GACCAGAAGGA-5'

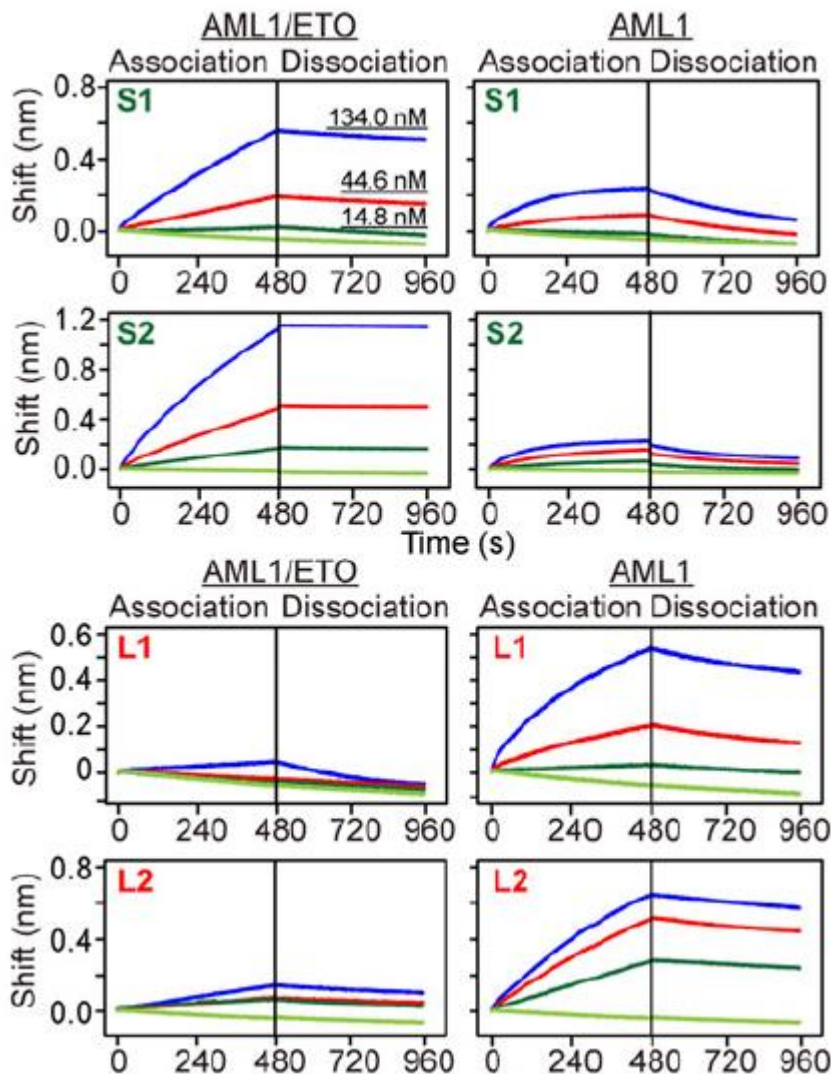
In vitro DNA pull-down



In vivo ChIP-qPCR



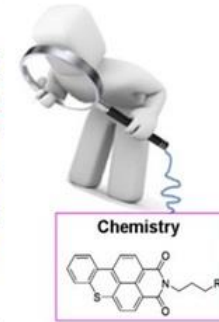
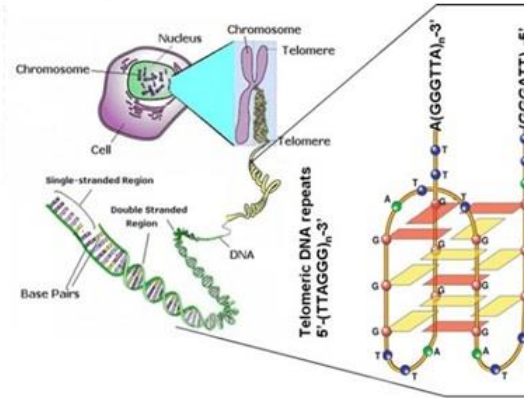
Blood审稿人要求提供亲和力数据，但是pull-down和ChIP可以定性结果，无法计算序列与AML1/ETO及AML1的具体亲和力



	KD (M)	
	AML1/ETO	AML1
S1	2.37E-09	4.55E-06
S2	3.33E-10	6.70E-07
L1	1.32E-04	1.08E-06
L2	1.38E-07	2.57E-09

SA传感器固化biotin-AML1基序S1, S2, L1和L2, 分别与不同浓度AML1/ETO和AML1进行结合与解离得到KD。

发现AML1/ETO与S结合强于AML1, 而AML1与L结合强于AML1/ETO, 这个结合与传统方法的结果一致, 但是能定量。



Small-molecule modulation of Wnt signaling via modulating the Axin-LRP5/6 interaction

Sheng Wang^{1,5}, Junlin Yin^{2,5}, Duoqi Chen², Fen Nie¹, Xiaomin Song¹, Cong Fei¹, Haofei Miao¹, Changbin Jing³, Wenjing Ma³, Lei Wang², Sichun Xie¹, Chen Li⁴, Rong Zeng⁴, Weijun Pan³, Xiaojiang Hao^{2*} & Lin Li^{1*}

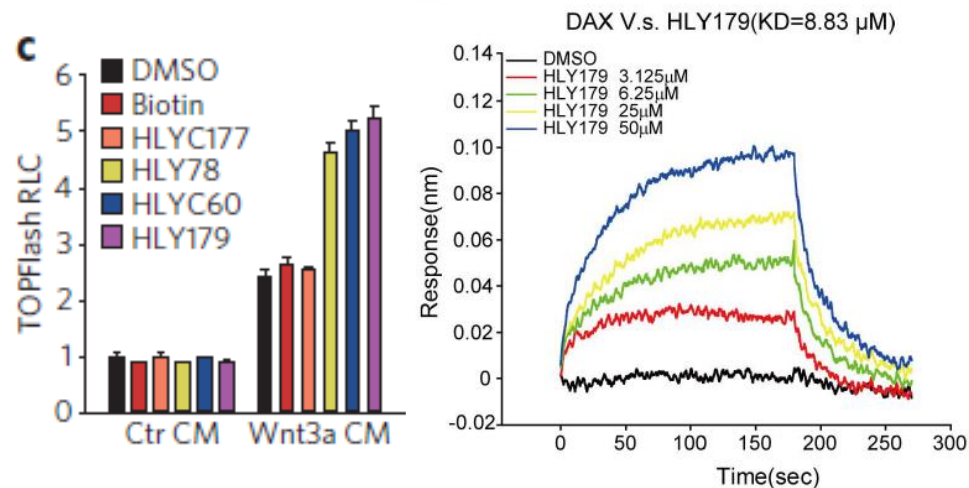
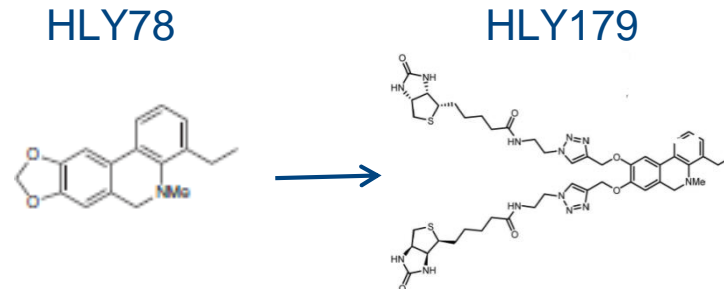
nature
chemical biology

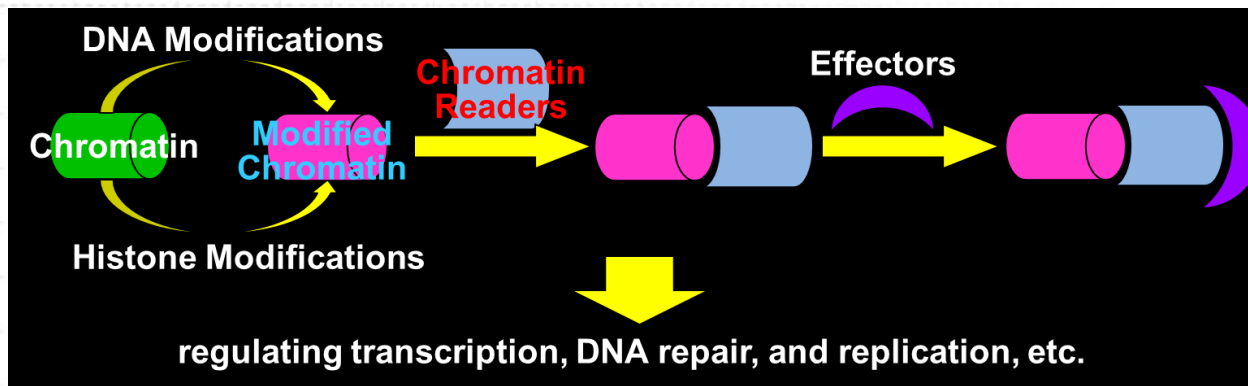
中科院上海生化所，2013年

Wnt信号通路的异常激活与癌症的发生及发展紧密联系。

石蒜碱衍生物---小分子HLY78，可以增强靶蛋白Axin与Wnt信号共受体LRP6的结合，促进了LRP6的磷酸化，提高Wnt信号通路的激活效率，HLY78可作为一种潜在的药物先导化合物。

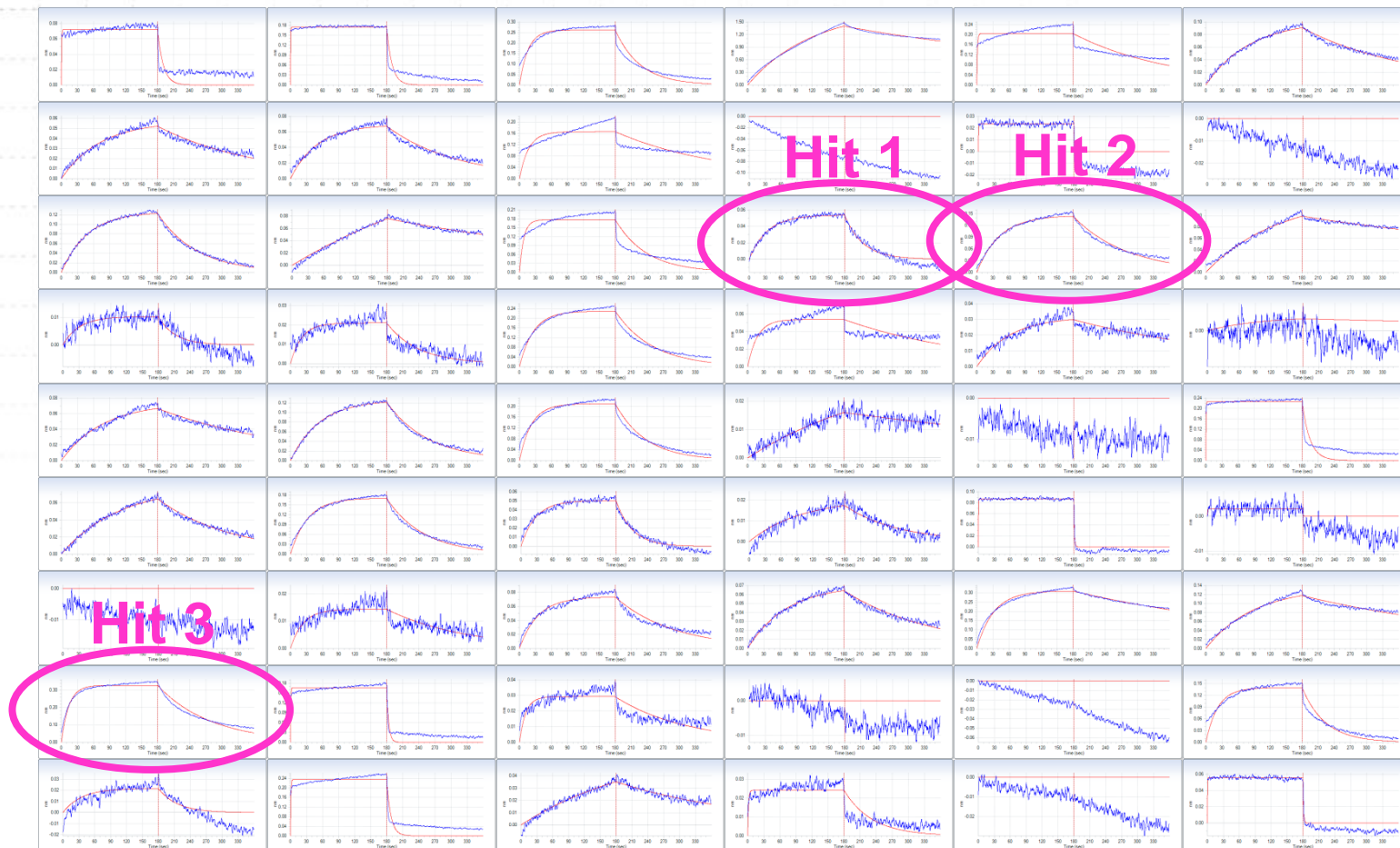
研究发现HLY78的衍生物HLY179在细胞学实验中表现出更好的活性。经Octet检测，HLY179和DAX的亲和力为8.83uM，高于HLY78。

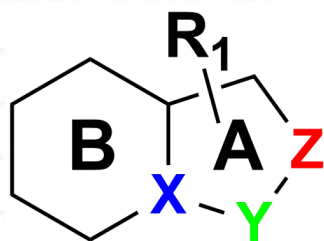




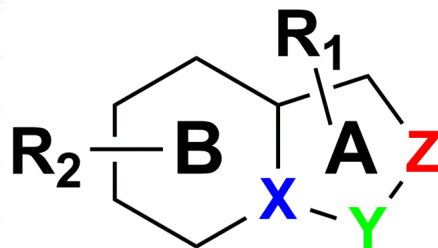
溴结构域Bromodomain (BRD) 蛋白

- 染色质修饰 “Reader” 蛋白家族
- 特异性结合乙酰化组蛋白并招募下游 “Effectors” (染色质修饰/重塑酶等)
- BRD蛋白异常调控已经被证实在多种疾病中起着重要作用：心血管，肿瘤，感染，炎症，胆固醇调控...

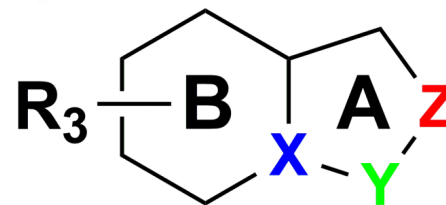




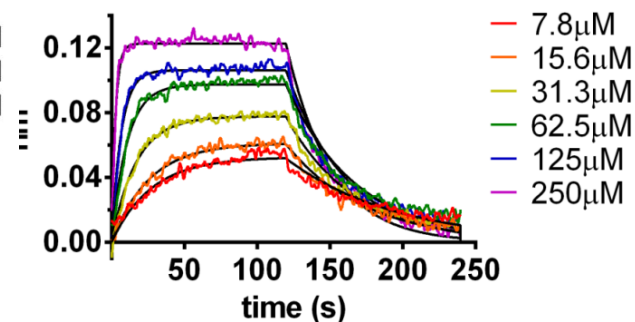
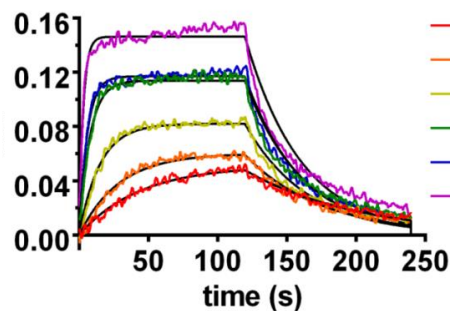
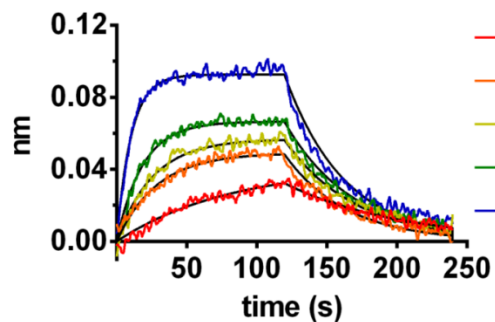
Hit 1/BRD4BD1



Hit 2/BRD4BD1

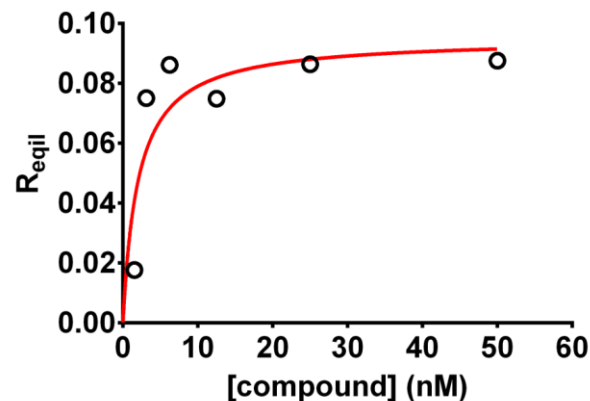
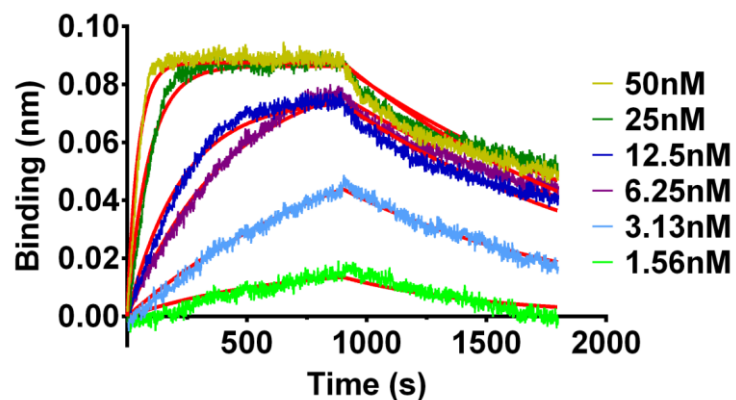


Hit 3/BRD4BD1



CMPD	MW (Da)	K_D (μM)	k_a (1/ Ms)	k_d (1/ s)
Hit 1	133	89.2	2.21E+02	1.97E-02
Hit 2	210	42.5	5.57E+02	2.37E-02
Hit 3	211	14.9	1.52E+03	2.27E-02

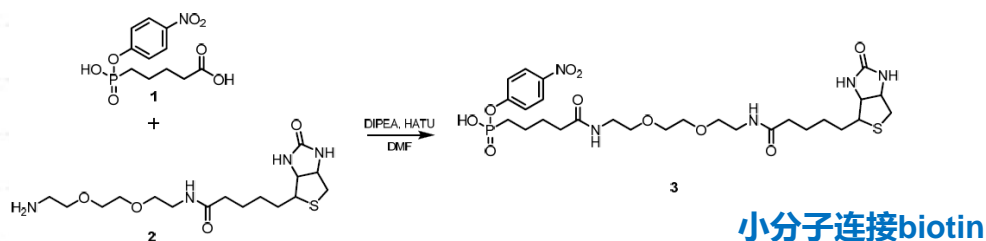
	BRD2 BD2	BRD3 BD2	BRD4 BD2
CMPD 5	12.7±4.2		13.9±2.0
CMPD 6	4.1±0.7	4.5±0.9	14.4±1.1
CMPD 7	3.5±0.7	1.5±0.3	3.6±0.1



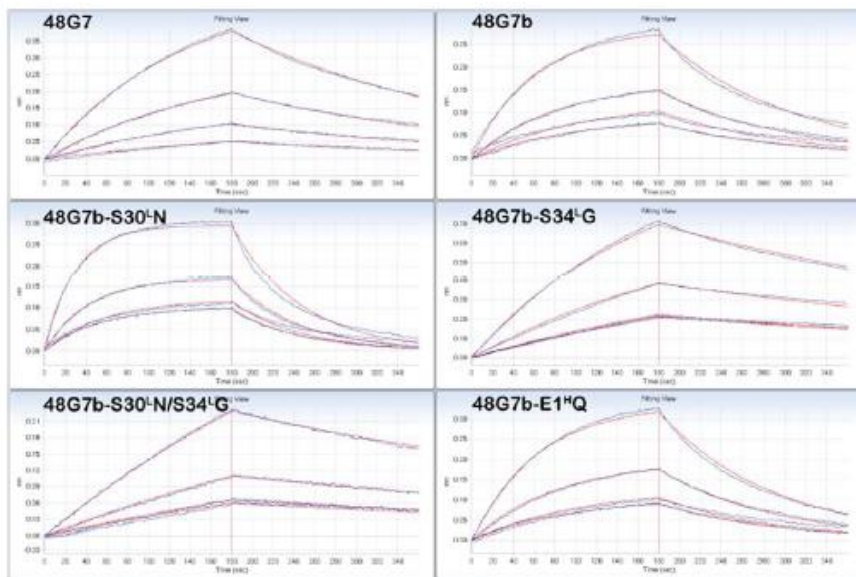
- 优化得到高亲和力nM级别的候选化合物

Mutational Analysis of 48G7 Reveals that Somatic Hypermutation Affects Both Antibody Stability and Binding Affinity

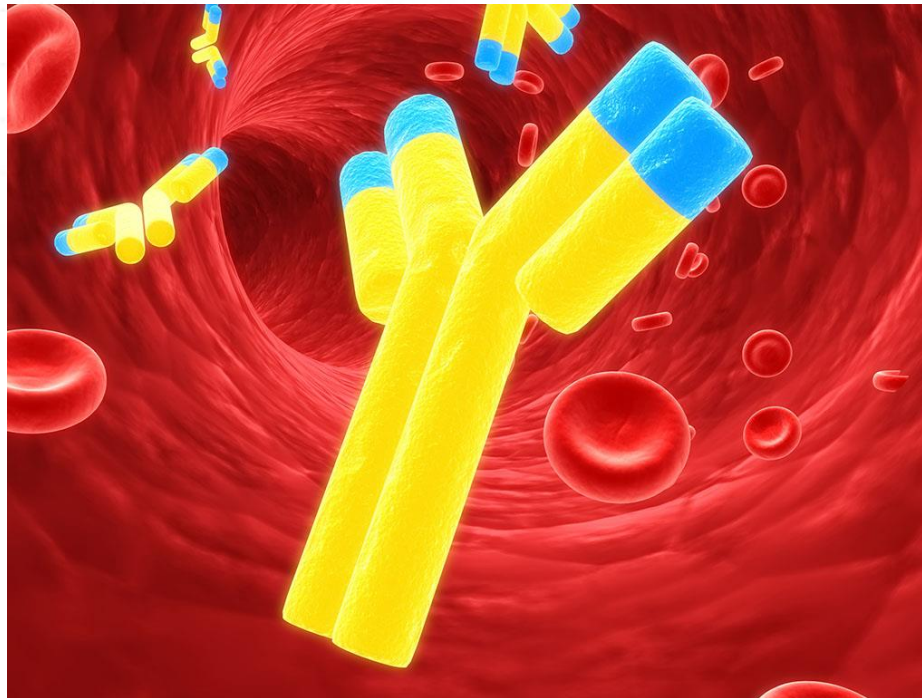
Sophie B. Sun,[†] Shiladitya Sen,[§] Nam-Jung Kim,[†] Thomas J. Magliery,^{*,§} Peter G. Schultz,^{*,†} and Feng Wang^{*,‡}

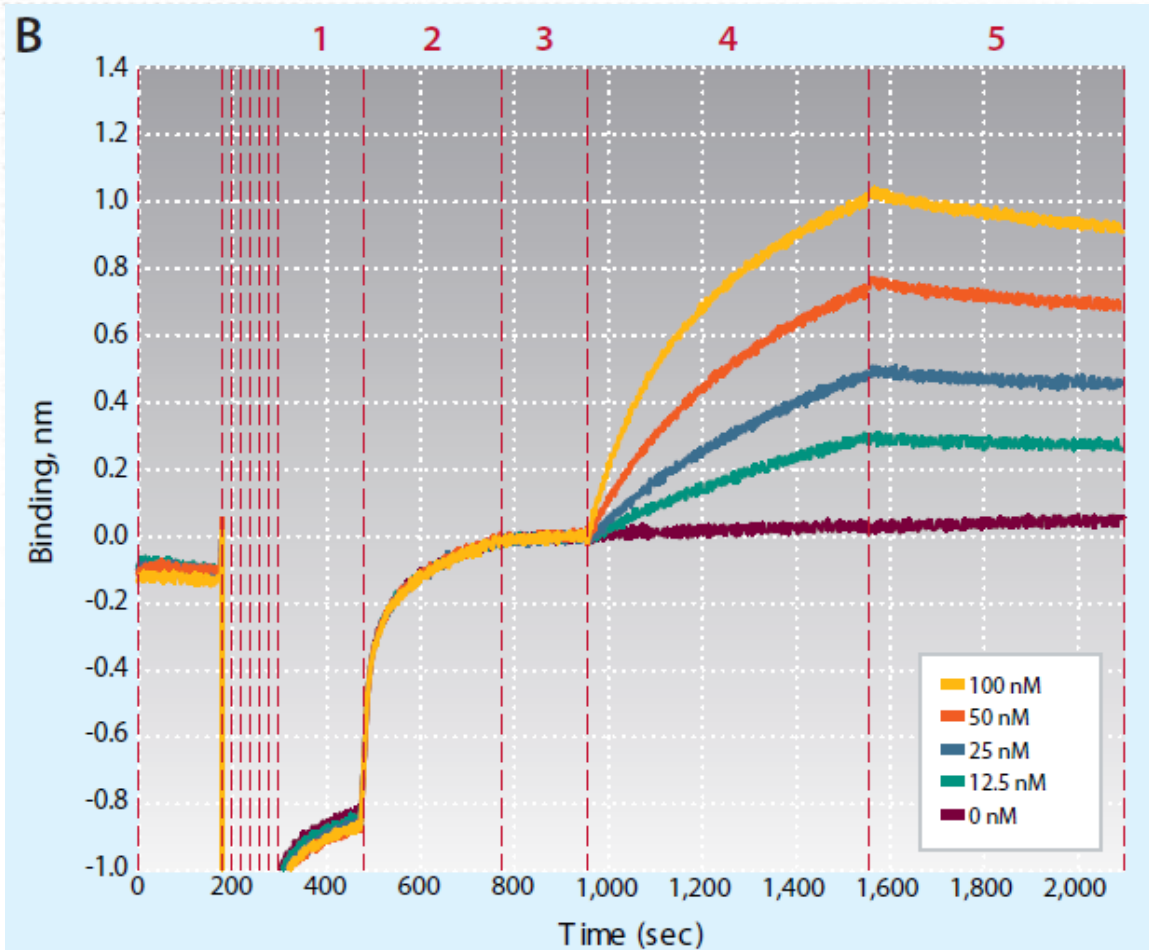


Scheme S1. Conjugation of JWJ1 phosphonate hapten to Amine-PEG2-Biotin



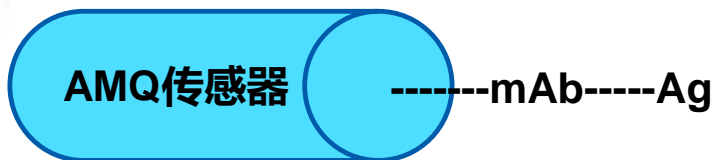
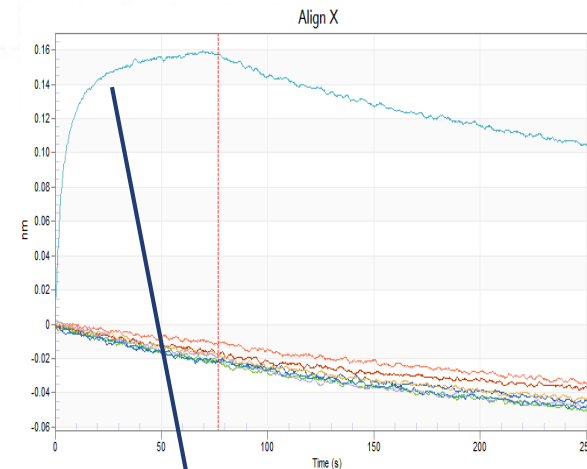
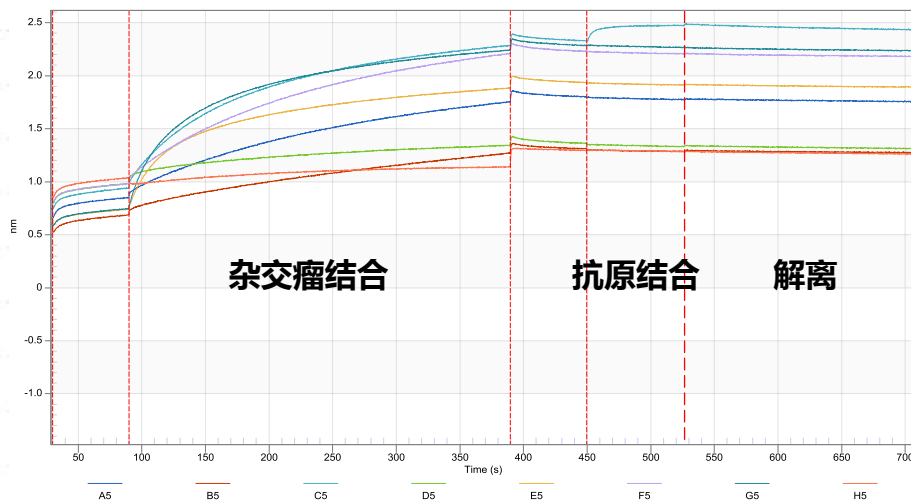
Light chain	Heavy chain	T_m (°C)	K_D JWJ1 (M)
48G7	48G7	63.5	1.10×10^{-8}
48G7b	48G7b	52.0	2.9×10^{-8}
48G7b	48G7b-E1Q	55.4	2.6×10^{-8}
48G7b	48G7b-E42K	60.9	1.3×10^{-8}
48G7b	48G7b-N57D	59.9	3.6×10^{-8}
48G7b	48G7b-G66D	53.5	2.5×10^{-8}
48G7b	48G7b-A79T	59.2	3.30×10^{-8}
48G7b-S30N	48G7b	57.7	3.1×10^{-8}
48G7b-S34G	48G7b	68.1	8.7×10^{-9}
48G7	48G7b	71.9	3.7×10^{-8}
48G7b	48G7b-N57D/A79T	62.5	2.6×10^{-8}
48G7b-S30N	48G7b-N57D/A79T	48.7	1.6×10^{-7}
48G7b-S34G	48G7b-N57D/A79T	56.7	1.8×10^{-8}
48G7	48G7b-N57D/A79T	61.6	3.9×10^{-8}





D

K_D (M)	k_{on} (1/Ms)	k_{on} Error	k_{dis} (1/s)	k_{dis} Error
5.34E-09	4.70E+04	1.60E+02	2.51E-04	1.78E-06



KD (M)	kon(1/Ms)	kdis(1/s)
2.12E-09	4.53E+05	9.61E-04

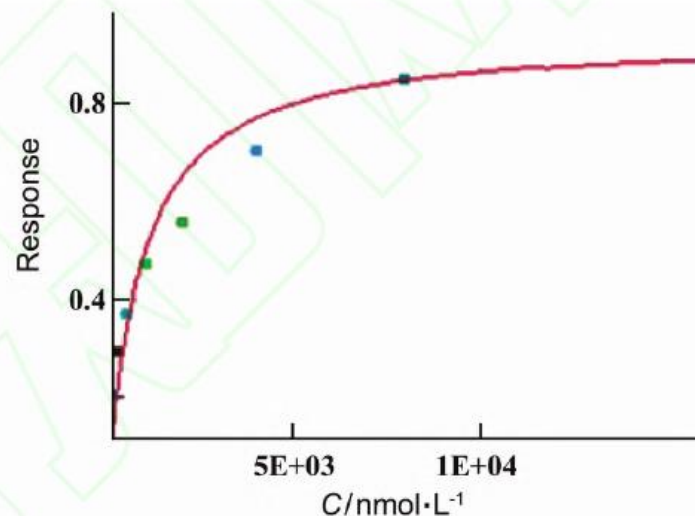
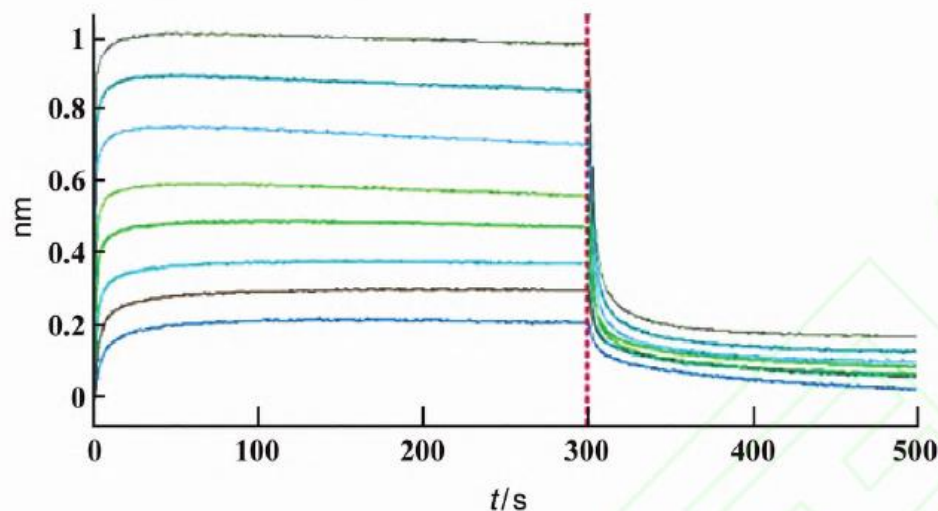
- 将杂交瘤上清（单克隆抗体）固定在AMQ传感器表面，与抗原进行结合解离
- 8个样品测试只需12min即可完成，AMQ传感器可再生使用10次以上
- 同时，可以通过杂交瘤上清（抗体）的固化速率判断目标抗体的浓度

· 生物医药前沿 ·

应用生物膜干涉技术测定治疗性单抗与新生儿 Fc 受体的亲和力

张 峰, 武 刚, 于传飞, 王文波, 高 凯, 王 兰

(中国食品药品检定研究院单克隆抗体产品室 卫生部生物技术产品检定及标准化重点实验室, 北京 100050)

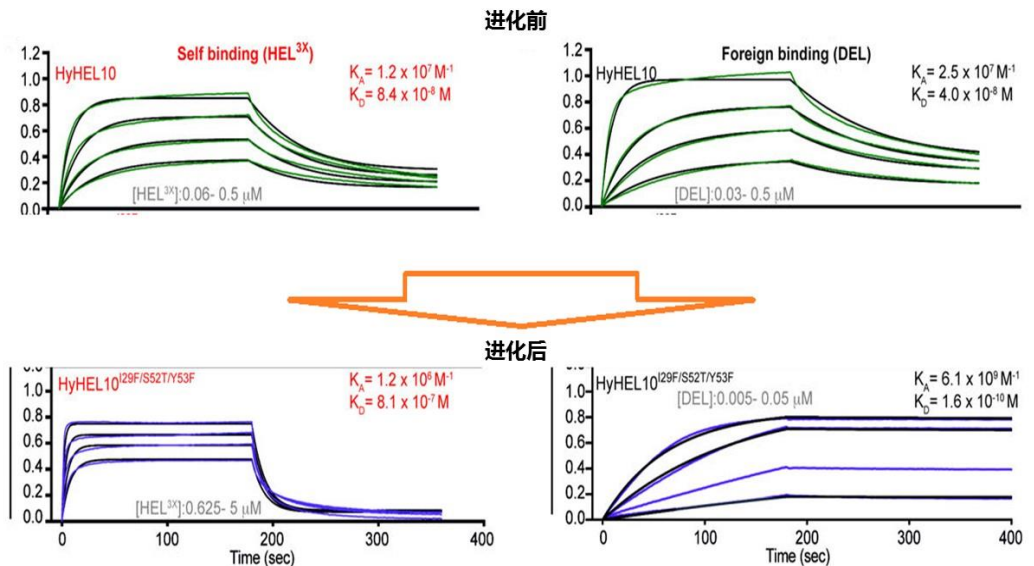
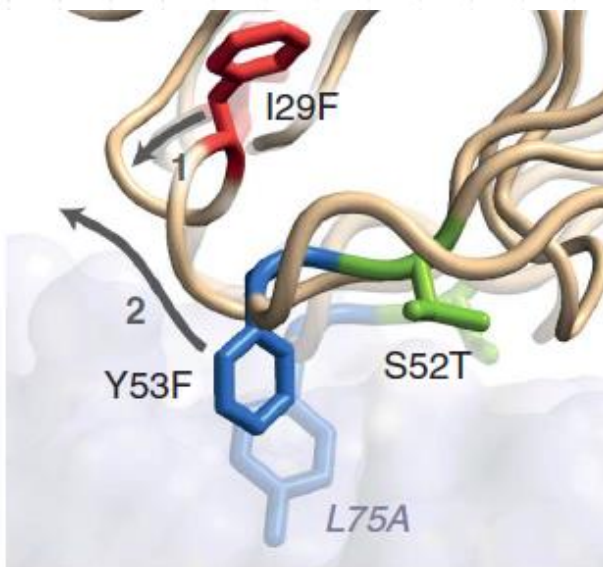


- BLI技术已经成为检测FcRn与抗体的亲和力的标准方法

Germinal center antibody mutation trajectories are determined by rapid self/foreign discrimination

Science

Garvan医学研究所, 2018



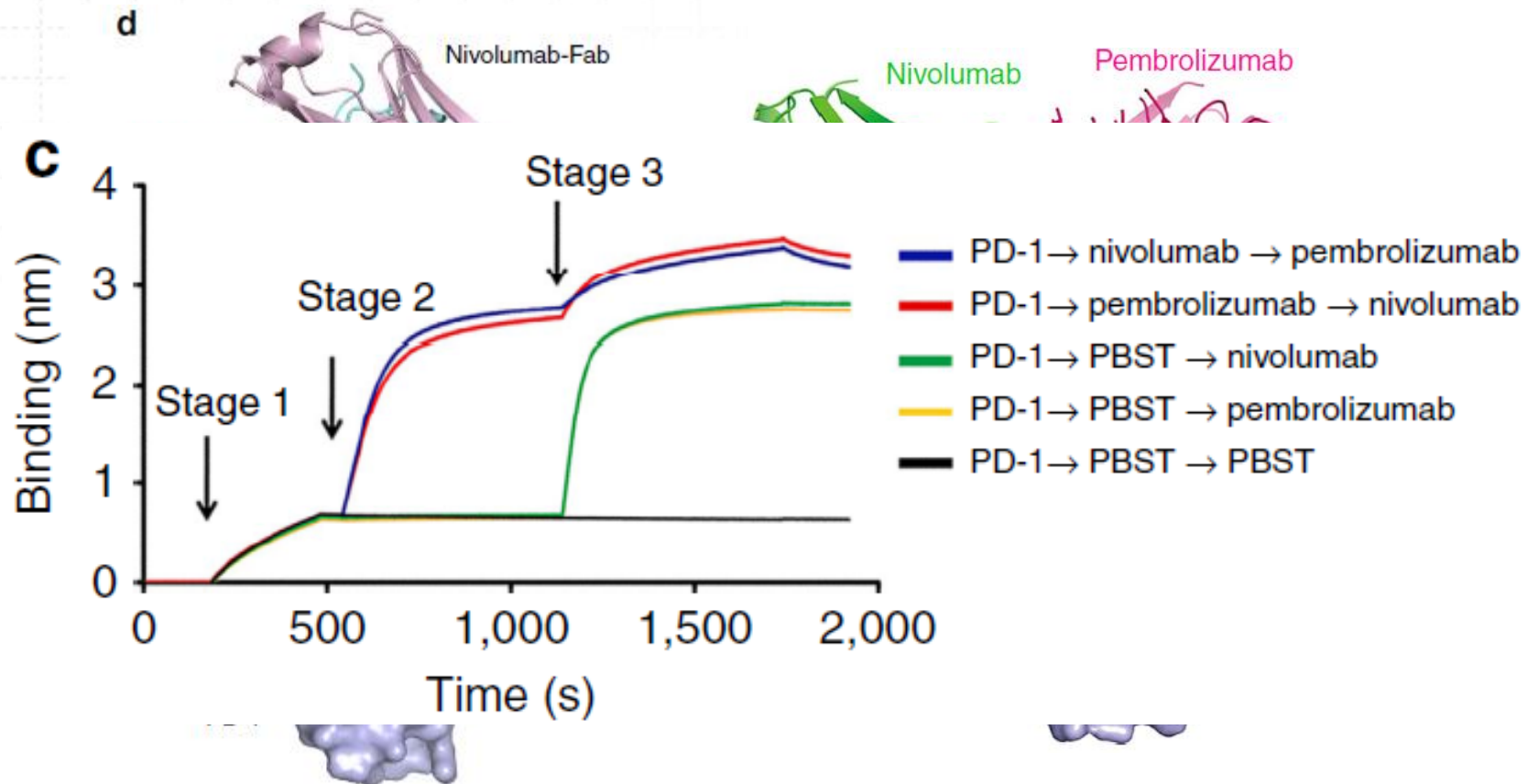
1. “坏抗体” 自身免疫抗体，通常会被沉默；
2. 在感染外源抗原后，会经历一个快速的“救赎”，从“坏”变“好”的过程，经过三个氨基酸位点突变快速变成对抗外来入侵者的有力武器。
3. 通过晶体结构的结果以及亲和力的数据，从机制上阐述了免疫系统如何保护机体，‘坏抗体’将成为开发HIV和其他疾病疫苗的、非常有价值的资源。

An unexpected N-terminal loop in PD-1 dominates binding by nivolumab

Shuguang Tan^{1,2,*}, Hao Zhang^{1,3,*}, Yan Chai^{2,*}, Hao Song⁴, Zhou Tong¹, Qihui Wang¹, Jianxun Qi², Gary Wong², Xiaodong Zhu⁵, William J. Liu⁶, Shan Gao⁷, Zhongfu Wang⁸, Yi Shi², Fuquan Yang⁹, George F. Gao^{2,4,6} & Jinghua Yan^{1,2,3}



中科院微生物所, 2017

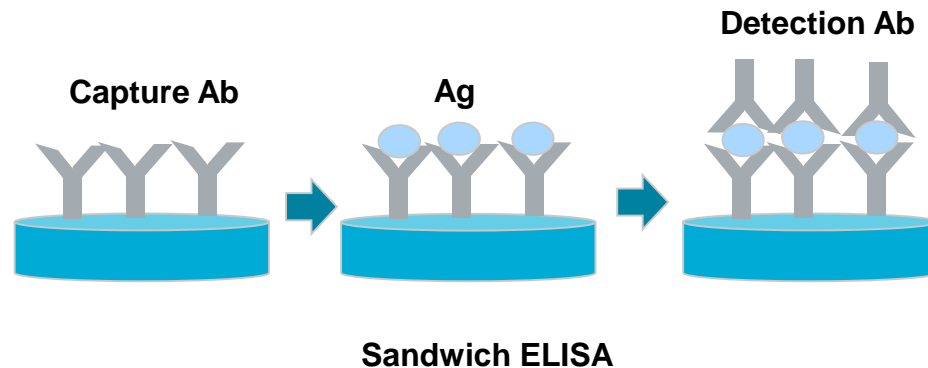
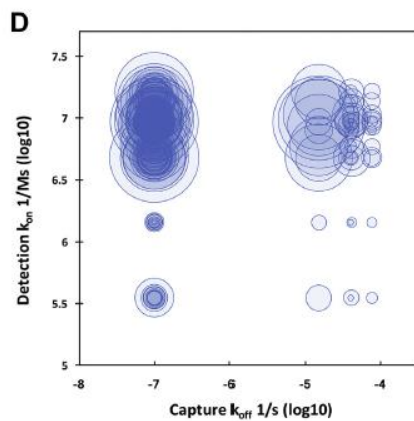
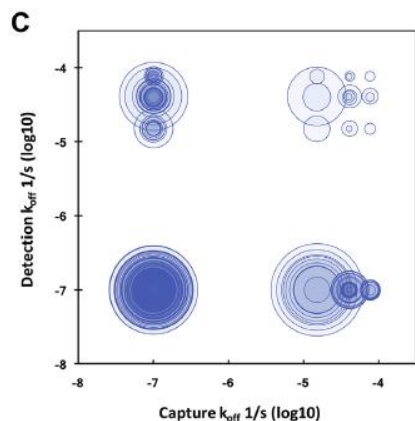
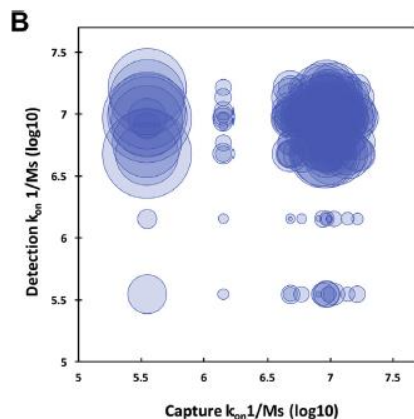
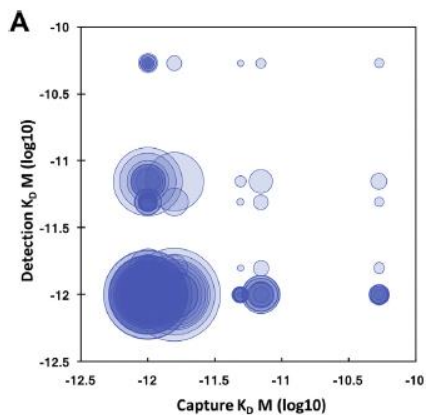


Biolayer interferometry predicts ELISA performance of monoclonal antibody pairs for *Plasmodium falciparum* histidine-rich protein 2

C.F. Markwalter ^a, I.K. Jang ^b, R.A. Burton ^{b,1}, G.J. Domingo ^b, D.W. Wright ^{a,*}

^a Department of Chemistry, Vanderbilt University, Nashville, TN 37235, USA

^b PATH, Seattle, WA 98121, USA



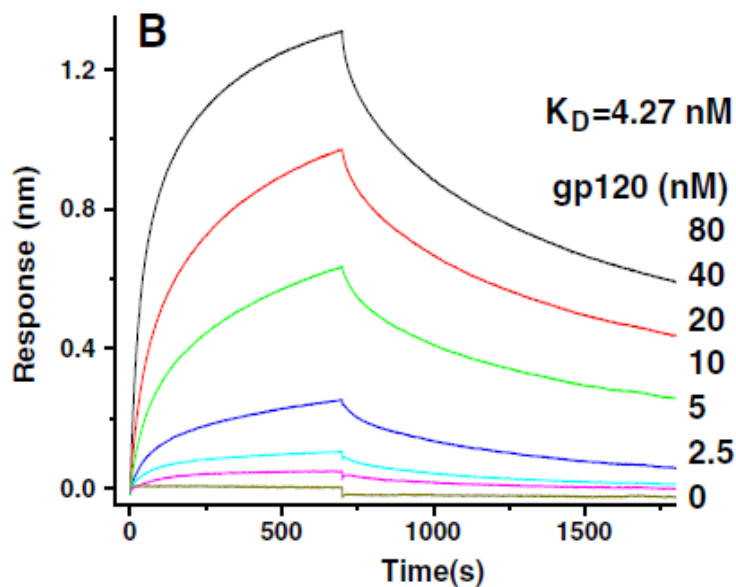
- 捕获抗体：考虑慢解离slow koff
- 检测抗体：考虑快结合fast kon
- 两个抗体要综合选择
- BLI可以加速诊断抗体研发

Anti-HIV-1 activity and structure-activity-relationship study of a fucosylated glycosaminoglycan from an echinoderm by targeting the conserved CD4 induced epitope

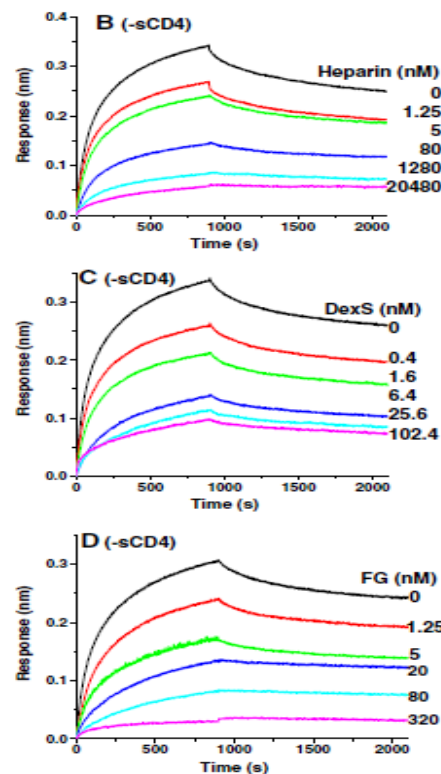
Wu Lian^{a,b,1}, Mingyi Wu^{a,1}, Ning Huang^c, Na Gao^a, Chuang Xiao^{a,b}, Zi Li^a, Zhigang Zhang^a, Yongtang Zheng^{c,*}, Wenlie Peng^{b,*}, Jinhua Zhao^{a,*}



中科院昆明植物所，2013



检测多糖1和gp120蛋白的结合



多糖2 (IC50=1.1nM)
>多糖3 (1.2nM)
>多糖1 (10.1nM)

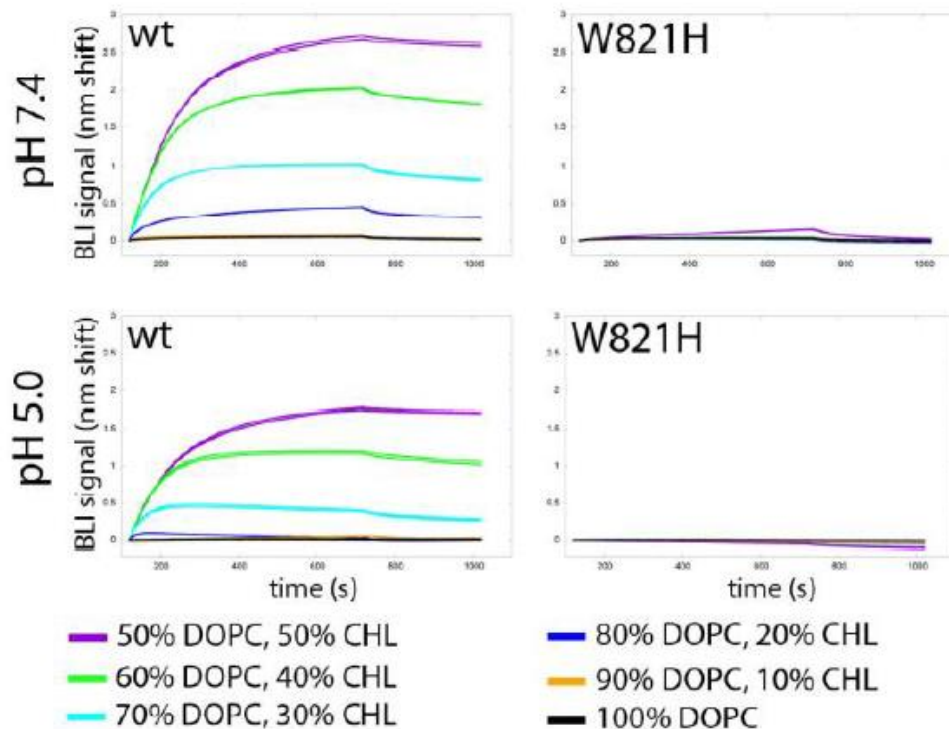
竞争法测试多糖2,3,4和gp120蛋白的结合能力

A glycerophospholipid-specific pocket in the RVFV class II fusion protein drives target membrane insertion

P. Guardado-Calvo, K. Atkovska, S. A. Jeffers, N. Grau, M. Backovic, J. Pérez-Vargas, S. M. de Boer, M. A. Tortorici, G. Pehau-Arnaudet, J. Lepault, P. England, P. J. Rottier, B. J. Bosch, J. S. Hub and F. A. Rey

Science

法国巴斯德所，2017



包膜蛋白不同pH下都可以与脂质体（细胞膜）结合，而突变的包膜蛋白则无法结合

本研究发现，裂谷热病毒的包膜蛋白插入到宿主细胞膜中融合形成一种包膜蛋白-脂质复合体结构。这种包膜蛋白具有一种特异性地识别细胞膜组分脂质亲水性头部的“口袋”。

重要的是，这种“识别口袋”在由节肢动物传播的其他病毒（如登革热病毒、寨卡病毒和基孔肯雅病毒）的包膜蛋白中发现。

这为抗病毒治疗的研究提供了启示。

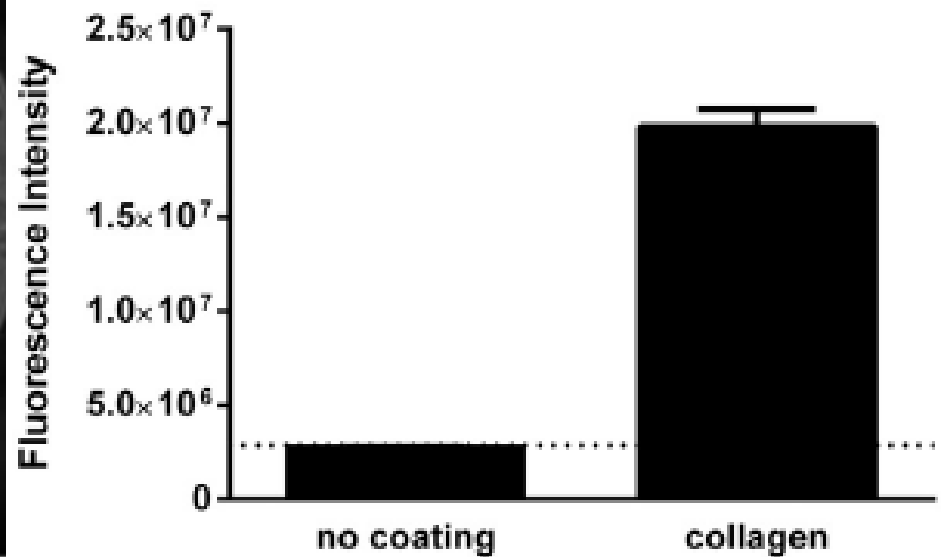
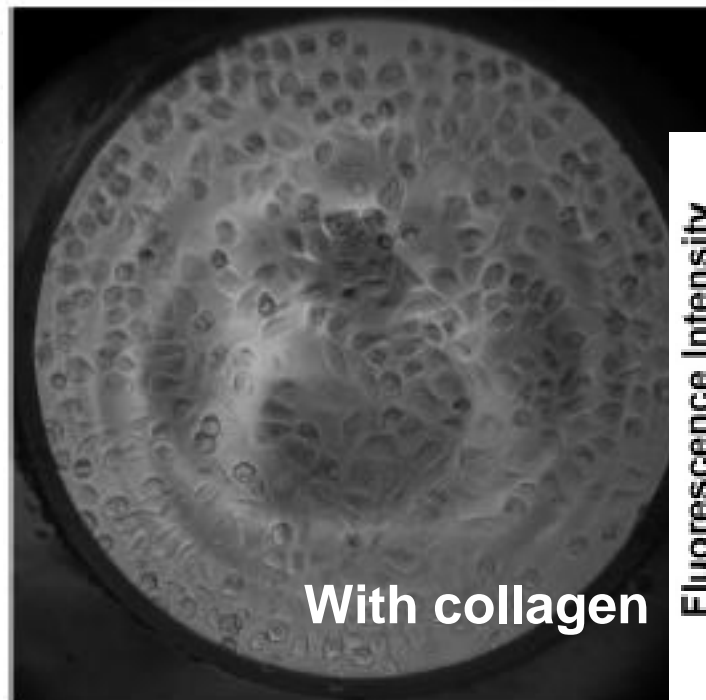
A novel label-free cell-based assay technology using biolayer interferometry

D. Verzijl^a, T. Riedl^a, P.W.H.I. Parren^{a,b}, A.F. Gerritsen^{a,*}

Genmab公司 2016

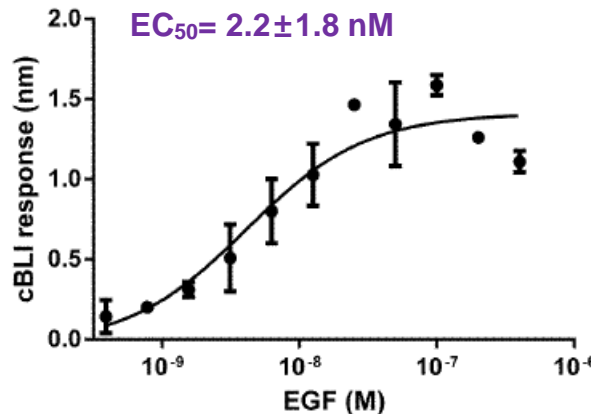
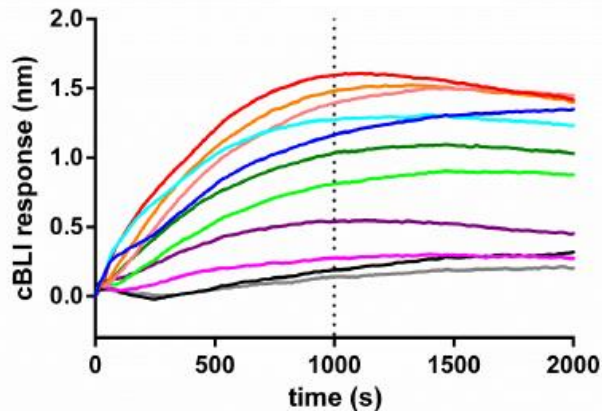
^a Genmab, Yalelaan 60, Utrecht, 3584 CM, The Netherlands

^b Department of Immunohematology and Blood Transfusion, Leiden University Medical Center, Albinusdreef 2, Leiden, 2333 ZA, The Netherlands



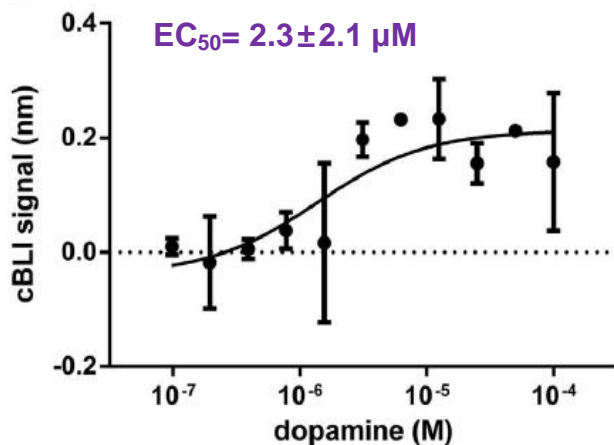
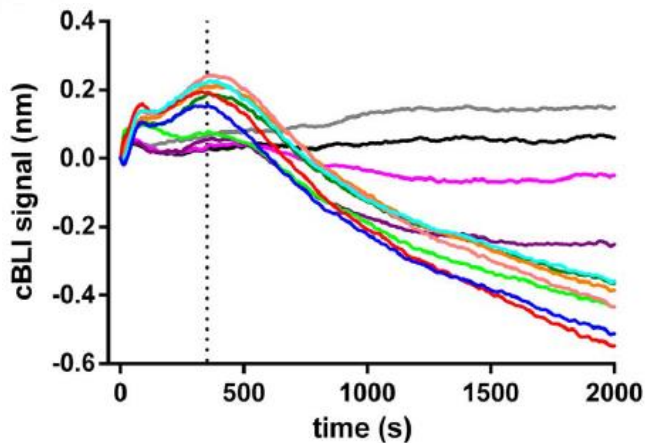
AR2G传感器结合Collagen，然后浸入Human A431细胞悬液中固化
 荧光染色检测细胞活性，P值 < 0.0001

EGF



Human A431细胞表面表达EGFR, 其配体蛋白为EGF (6 kDa)
与不同浓度的EGF进行检测, 发现response信号与浓度呈正相关

Dopamine



Human A431细胞内源性表达β2-adrenoceptor, 可被dopamine (153Da) 激活
与不同浓度的dopamine进行检测, 发现response信号与浓度呈正相关

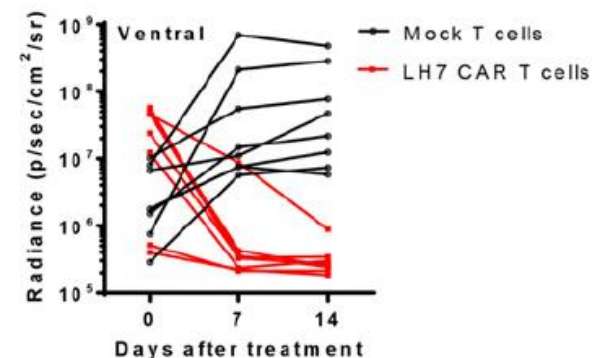
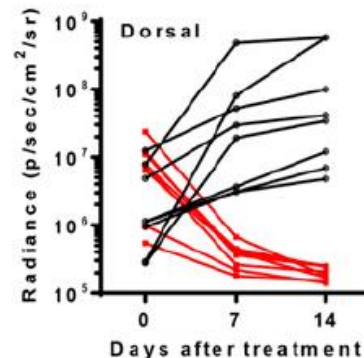
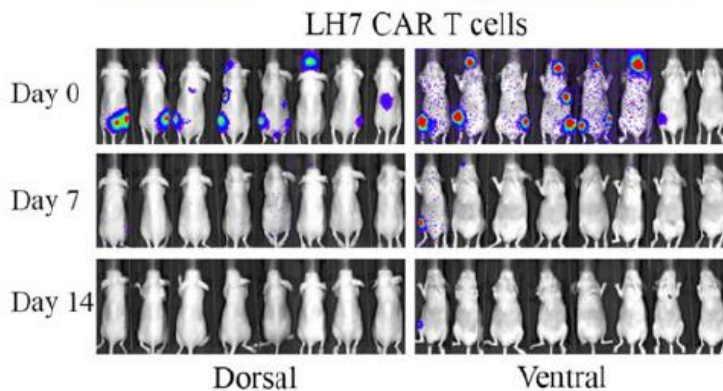
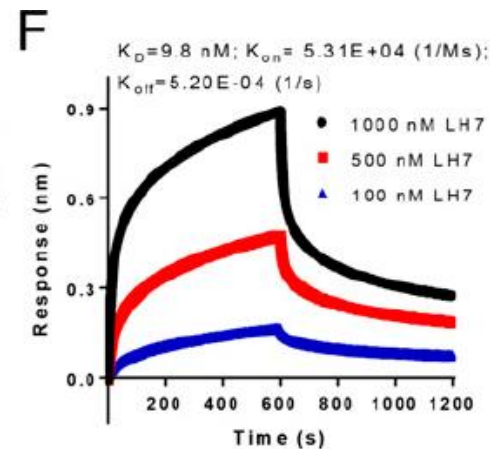
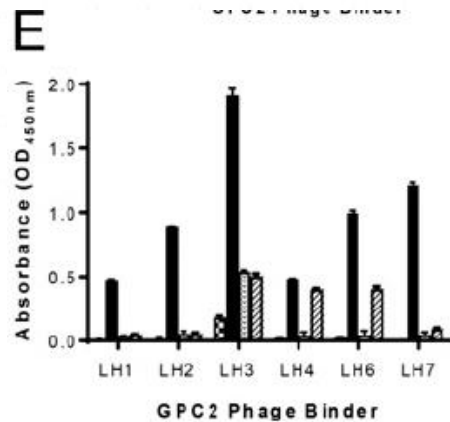
Therapeutically targeting glypican-2 via single-domain antibody-based chimeric antigen receptors and immunotoxins in neuroblastoma

PNAS

PNAS, 2017

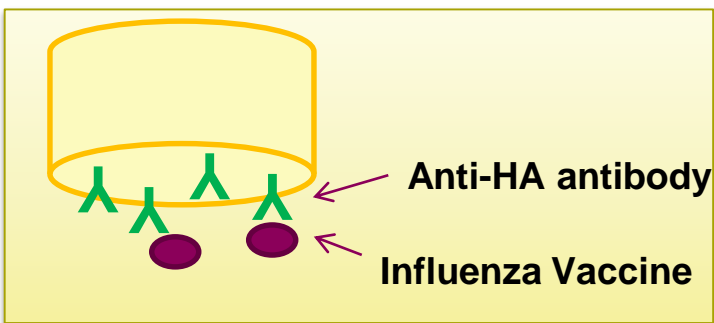
Nan Li^a, Haiying Fu^{a,b}, Stephen M. Hewitt^c, Dimiter S. Dimitrov^d, and Mitchell Ho^{a,1}

^aLaboratory of Molecular Biology, Center for Cancer Research, National Cancer Institute, National Institutes of Health, Bethesda, MD 20892; ^bDepartment of Immunology, Norman Bethune College of Medicine, Jilin University, Changchun 130021, China; ^cLaboratory of Pathology, Center for Cancer Research, National Cancer Institute, National Institutes of Health, Bethesda, MD 20892; and ^dCancer and Inflammation Program, Center for Cancer Research, National Cancer Institute, National Institutes of Health, Frederick, MD 21702



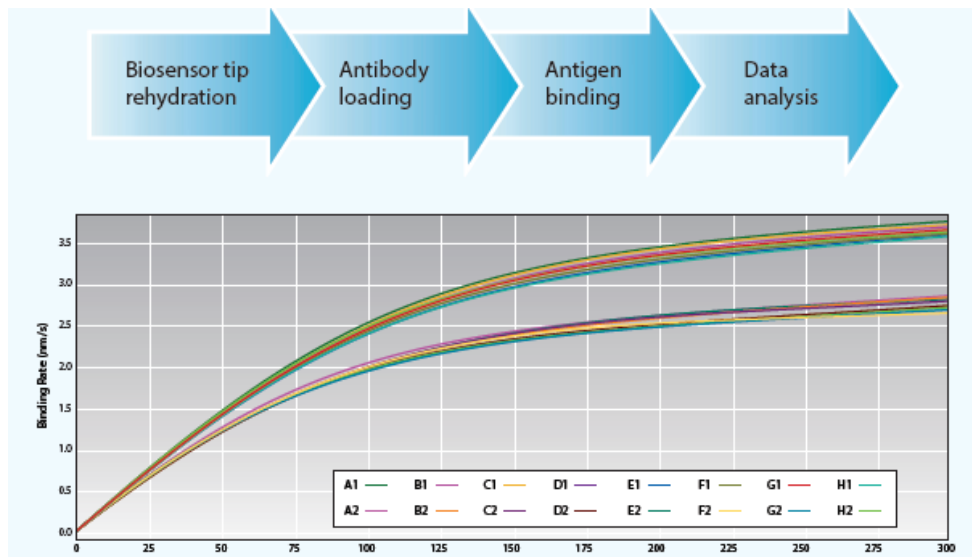


传统方法—单向免疫扩散 (SRID)

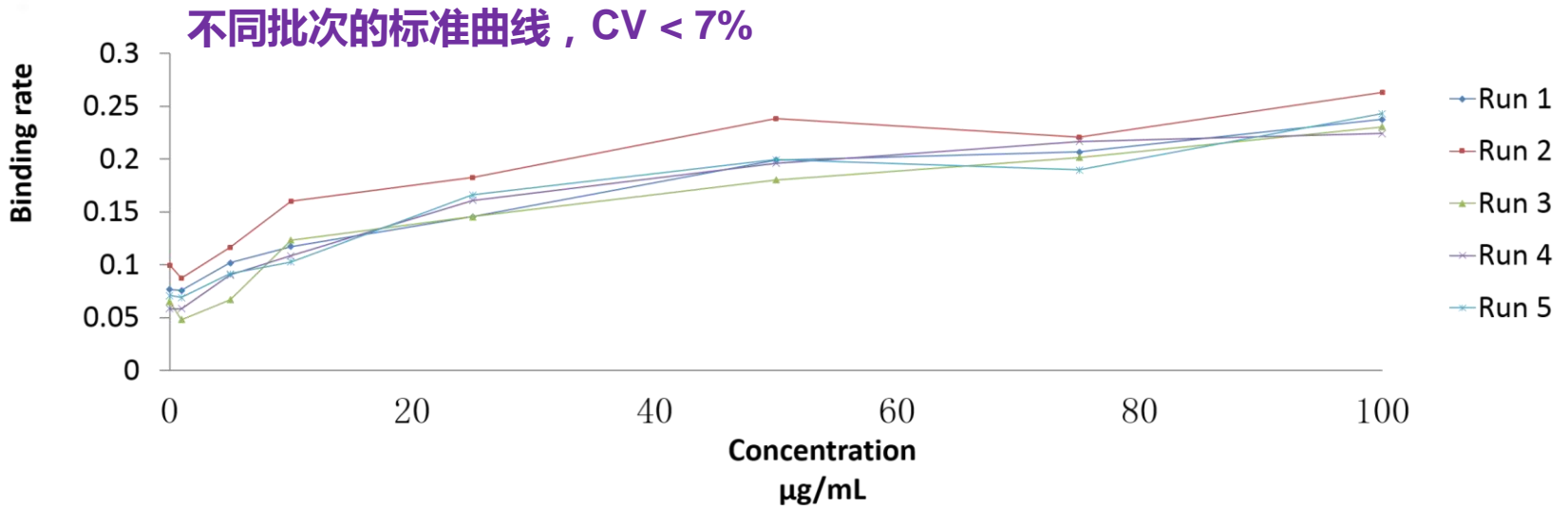
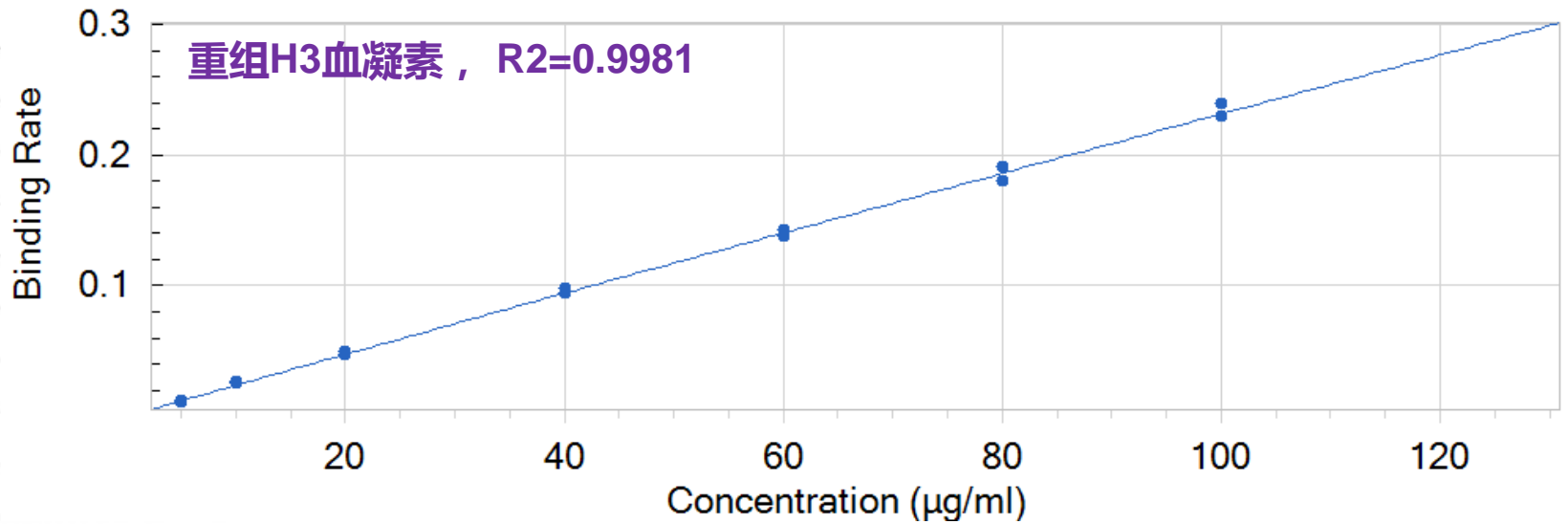


实验设计

优点	缺点
<ul style="list-style-type: none"> ❑ 金标准 ❑ 使用简便 ❑ 检测成本较低 	<ul style="list-style-type: none"> ❑ 用时长 (2 ~ 3天) ❑ 检测通量较低 ❑ 动态范围较窄 ❑ 检测准确度、精确度不理想



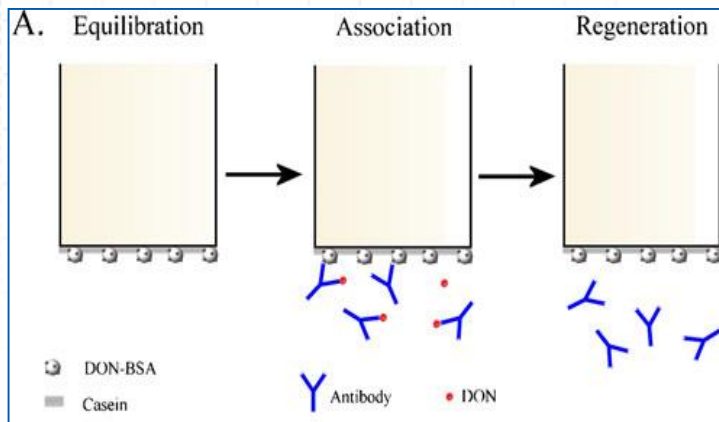
Loading的准确性 (两种不同抗体)



Detection of deoxynivalenol using biolayer interferometry

Chris M. Maragos

Mycotox Res (2011) 27:157–165

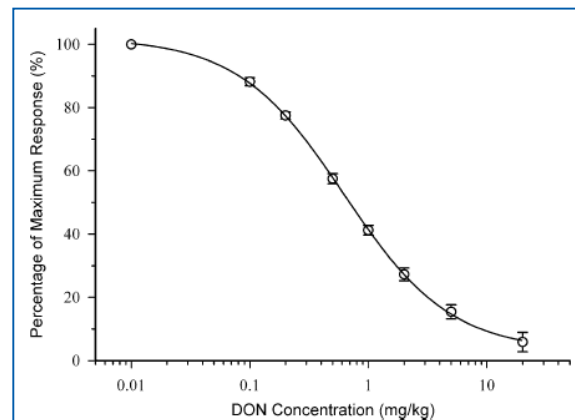
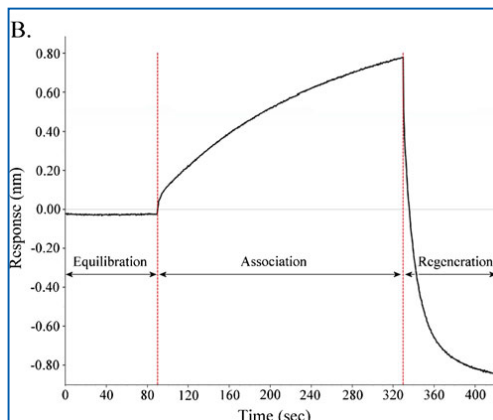


Deoxynivalenol (DON)

呕吐毒素，又称脱氧雪腐镰刀菌烯醇，真菌毒素，296Da，常见于霉变的谷物

检测方法---竞争法

1. DON-BSA固定在APS传感器上
2. 将过量的抗体和不同浓度的DON混合孵育
3. 传感器检测信号，建立标准曲线
4. 检测未知浓度样品
5. 再生



检出限：0.1mg/Kg

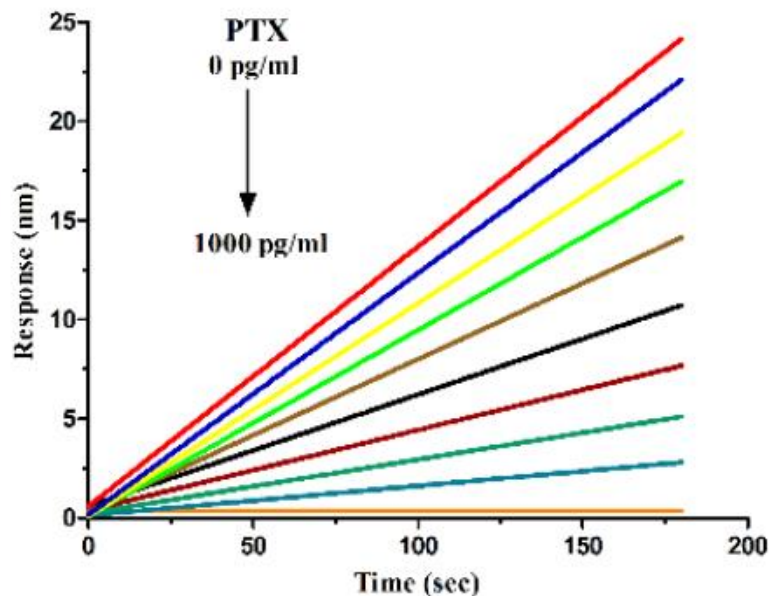
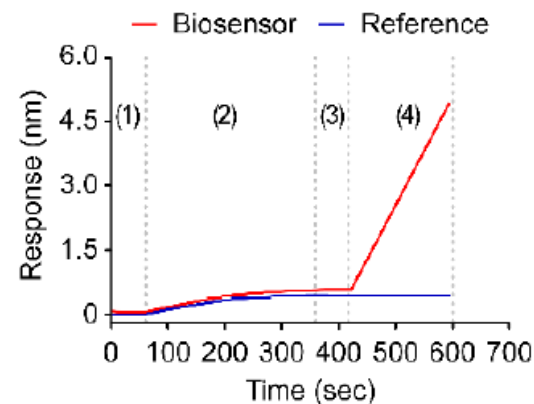
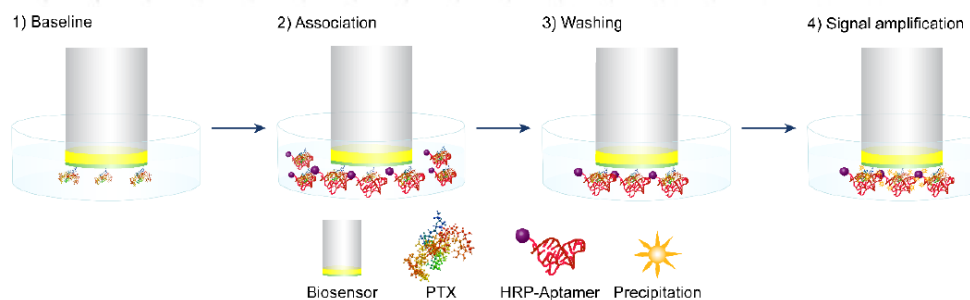
回收率：101.4%

RSD：13.2%

Enzyme-linked, aptamer-based, competitive biolayer interferometry

biosensor for palytoxin

第二军医大学, 2016



回收率100.27%~108.24%，说明贝类海鲜的提取物基质对检测没有明显影响。
变异系数2.27%~6.76%，重复性非常好。
检测极限为0.04pg/ml。

简介

原理

应用

系统特点

OCTET



- **8通道**平行检测
- 通量高
- 快速获得实验结果
- 数据准确性高，一致性好

SPR



- **单通道**串联检测
- 通量较低
- 实验耗时长
- 一致性依赖再生条件

OCTET



- 简明易用，适合**普通使用者**
- 直观的实验设计流程
- 同时优化多种条件，灵活快速（1h）

SPR



偶联pH

样品浓度

缓冲液
条件

再生条件

- 操作复杂，需要**专业使用者**
- 多数实验需要编辑程序
- 复杂的实验条件优化，耗时冗长（6-10h）

OCTET



- **无流路阻塞之忧**
- 样品无需离心脱气
- 可以检测**粗样品**，应用广
- 无惧有机溶剂和甘油

SPR



- 微流路系统 (IFC) 为易损耗件
- 自然老化，需**定期更换** (每6-10个月)
- 更换费用昂贵 (**约\$7000**)
- 无法检测粗样品和易沉淀样品，会**堵塞IFC**
- 不能使用较高浓度的有机溶剂和甘油

特点四：实验及维护成本最低

OCTET



时间成本

< 1小时



使用成本

传感器 (\$5-7/个)



无易损件

SPR

Loading



6-12小时



传感芯片(\$250-1200/片),还有试剂盒...



更换流路, USD 7000/每年



- Octet 系统灵敏度高、通用性强、适合复杂样品
- 实验步骤设计简便，通量高，检测速度快
- 软件操作与分析易学易用，快速入门
- 耗材使用、硬件维护成本很低，用户无负担
- 产品技术成熟，中国用户文献量逐年递增
- 强大的技术支持团队，提供一流的售后服务

又快！又准！又易用！又省成本！

Thank You!

